



ΔΙΚΤΥΑ ΚΙΝΗΤΩΝ ΚΑΙ ΠΡΟΣΩΠΙΚΩΝ ΕΠΙΚΟΙΝΩΝΙΩΝ

Το ασύρματο περιβάλλον
στις κινητές επικοινωνίες



- Γενικές αρχές για τη διάδοση
- Απώλειες διαδρομής
 - Διάδοση στον ελεύθερο χώρο
 - Διάδοση πάνω από επίπεδη και αγώγιμη επιφάνεια
 - Διάδοση μη-οπτικής επαφής
- Σκίαση
- Διαλείψεις πολλαπλών διαδρομών
 - σε διαύλους στενής ζώνης
 - σε διαύλους ευρείας ζώνης
- Παράμετροι διαύλων με πολλαπλές διαδρομές
- Αρχή της αντιστροφής



Βασικές απαιτήσεις για αξιόπιστη επικοινωνία

- κατανομή της μέσης ηλεκτρομαγνητικής ισχύος σε συγκεκριμένη περιοχή
- επαρκής ισχύς, όχι παρεμβολές
- ενδιαφέρει όχι μόνο η μέση ισχύς αλλά και στατιστική συμπεριφορά της ισχύος, λόγω της κίνησης του τερματικού
- ενδιαφέρει επίσης η ποιότητα του σήματος, ώστε να μην εμφανίζονται σφάλματα

Γενικές αρχές για τη διάδοση



- Απαιτείται να υπάρχει επαρκής γνώση για τη συμπεριφορά του διαύλου (διαμόρφωση, κωδικοποίηση, εξισορρόπηση)

Μοντέλα για τη μελέτη των ραδιοδιαύλων

- **παραμετρικά στατιστικά:** απλά στη χρήση τους, αλλά σχετικά χονδρικά
- **ντετερμινιστικά:** ειδικά για κάθε περιβάλλον, παρέχουν καλύτερη ακρίβεια

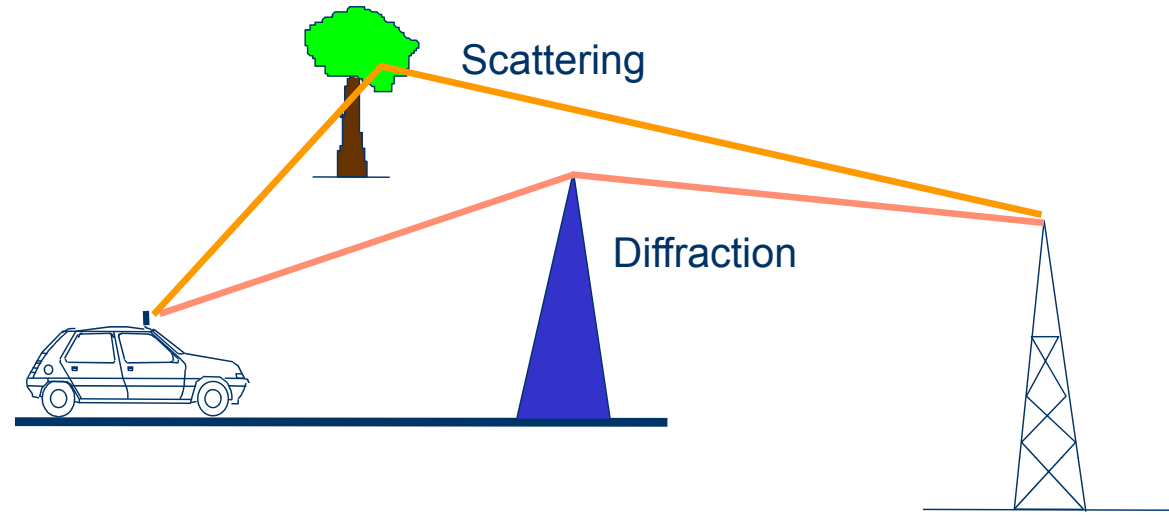
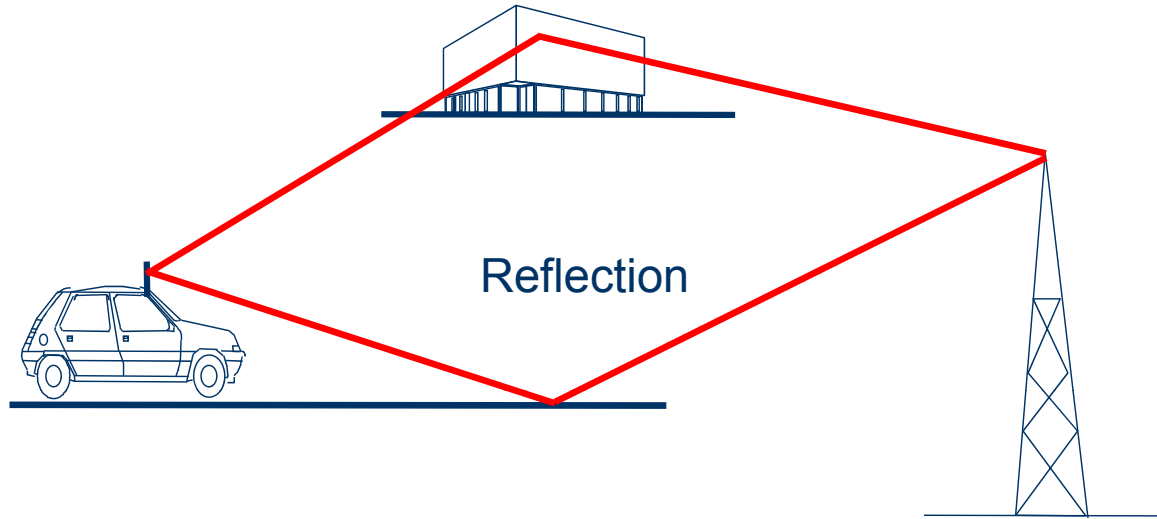
Γενικές αρχές για τη διάδοση



Οι μηχανισμοί που διέπουν τη διάδοση είναι πολύπλοκοι και ποικίλοι και μπορεί να συνοψιστούν σε τρεις βασικούς:

- **ανάκλαση (reflection):** διαστάσεις εμποδίων $\gg \lambda$
- **περίθλαση (diffraction):** παρεμβολή αδιαπέραστου σώματος στη διαδρομή διάδοσης
- **σκέδαση (scattering):** διαστάσεις εμποδίων $\leq \lambda$

Γενικές αρχές για τη διάδοση



Γενικές αρχές για τη διάδοση



Καθώς το κινητό τερματικό κινείται σε μια περιοχή, οι τρεις μηχανισμοί διάδοσης επιδρούν κάθε στιγμή στο λαμβανόμενο σήμα κατά διαφορετικούς τρόπους.

Ακόμη και αν το κινητό τερματικό διανύει μικρές αποστάσεις, η λαμβανόμενη στιγμιαία ισχύς μεταβάλλεται απότομα και εμφανίζονται βραχύχρονες διαλείψεις.

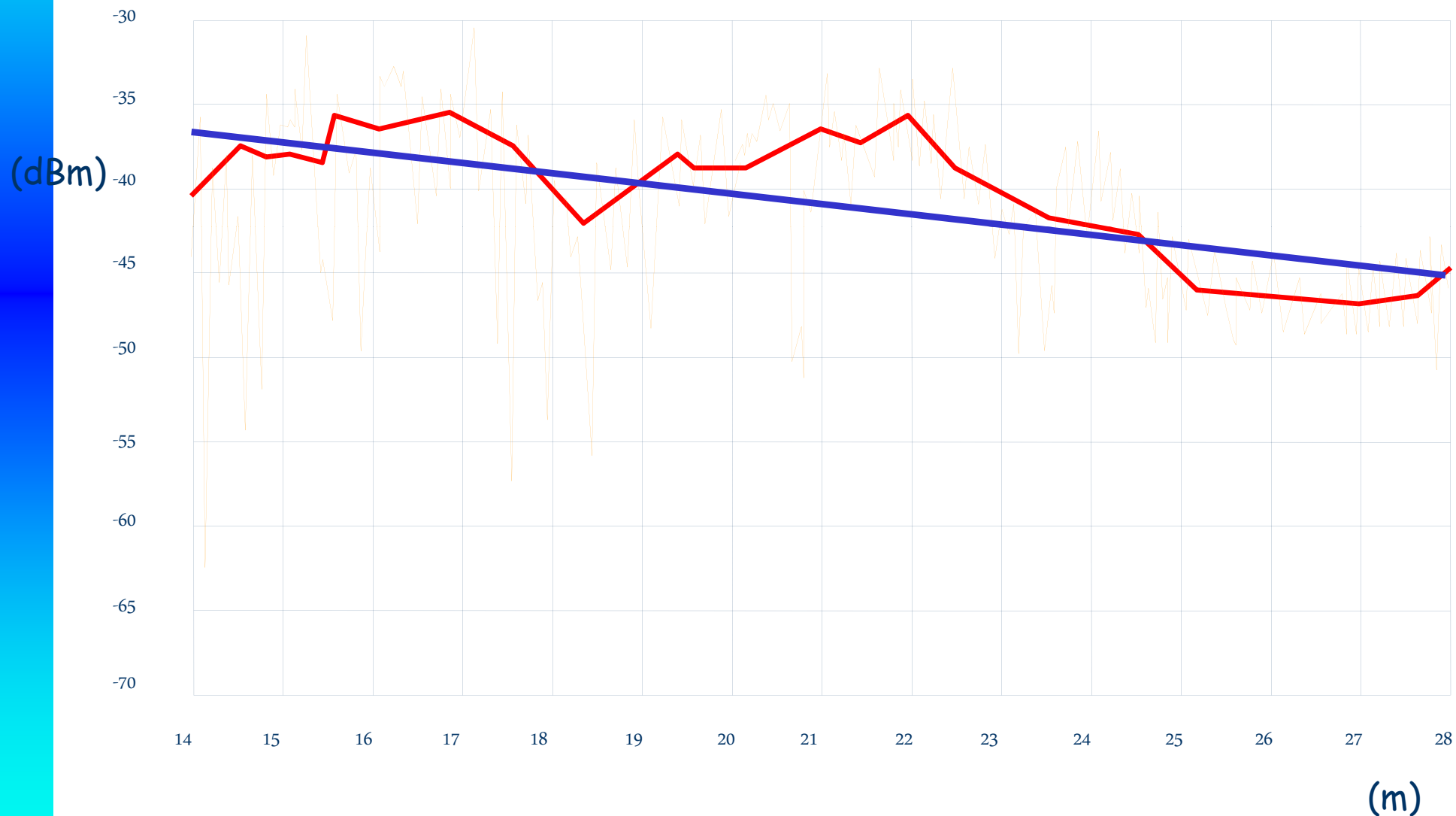
Γενικές αρχές για τη διάδοση



Η διάδοση των ηλεκτρομαγνητικών κυμάτων σε περιβάλλοντα κινητών επικοινωνιών χαρακτηρίζεται από τρία επιμέρους φαινόμενα:

- *απώλειες διαδρομής (path loss)*
- *σκίαση (shadowing)*
- *διαλείψεις πολλαπλών διαδρομών (multipath fading)*

Γενικές αρχές για τη διάδοση



Δίκτυα Κινητών και Προσωπικών Επικοινωνιών

Απώλειες διαδρομής



Διάδοση στον ελεύθερο χώρο

$$S_o = \frac{P_t \cdot G_t}{4\pi d^2} \quad (W / m^2) \quad \vec{S} = \vec{E} \times \vec{H}$$

$$S_o = E_o \cdot H_o \quad (W / m^2) \quad H_o = \frac{E_o}{120\pi} \quad (A / m)$$

$$S_o = \frac{E_o^2}{120\pi} \quad (W / m^2)$$

$$E_o = \frac{\sqrt{30P_t G_t}}{d} \quad (V / m) \quad E_{om} = \frac{\sqrt{60P_t G_t}}{d} \quad (V / m)$$

$$E_o(t) = \frac{\sqrt{60P_t G_t}}{d} \cos 2\pi f(t - d/c) = \frac{\sqrt{60P_t G_t}}{d} \cos(2\pi ft - \beta d)$$

Απώλειες διαδρομής



Διάδοση στον ελεύθερο χώρο

$$P_{or} = \frac{E_o^2}{120\pi} A_r \quad (W)$$

$$A_r = \frac{G_r \lambda^2}{4\pi}$$

$$P_{or} = \left(\frac{E_o \cdot \lambda}{2\pi} \right)^2 \frac{G_r}{120} \quad (W) \quad \frac{P_{or}}{P_t} = G_t G_r \left(\frac{\lambda}{4\pi d} \right)^2 = G_t G_r \left(\frac{c/f}{4\pi d} \right)^2$$

Για ιστροπικές
κεραίες με $G=1$

$$\frac{P_{or}}{P_t} = \left(\frac{\lambda}{4\pi d} \right)^2 = \left(\frac{c/f}{4\pi d} \right)^2$$



Απώλειες διαδρομής

Διάδοση στον ελεύθερο χώρο

Απώλειες διαδρομής

$$L_f = \frac{P_t}{P_{or}} = \left(\frac{4\pi d}{\lambda} \right)^2 = \left(\frac{4\pi d}{c/f} \right)^2$$

Εξαρτώνται
από το d^2
και το f^2

Απώλειες διαδρομής σε dB

$$L_f [dB] = 20 \log_{10} \left(\frac{4\pi d}{\lambda} \right) = 20 \log_{10} \left(\frac{4\pi d}{c/f} \right)$$



Απώλειες διαδρομής

Διάδοση στον ελεύθερο χώρο

Η διαφορά Δp σε dB των ισχύων δύο σημάτων που λαμβάνονται από δύο διαφορετικούς δέκτες σε αποστάσεις d_1 και d_2 από τον πομπό

$$\Delta p = 10 \log_{10} \left(\frac{P_{or2}}{P_{or1}} \right) = 20 \log_{10} \left(\frac{d_1}{d_2} \right) dB$$

Σχετική στάθμη ισχύος ως προς στάθμη αναφοράς



Λόγος ισχύων εκφραζόμενος σε dB

$$P_{dB} = 10 \log_{10} \frac{P_1}{P_2}$$

$$P_{dB} = 10 \log_{10} \frac{\frac{1}{2} \frac{V_1^2}{R_1}}{\frac{1}{2} \frac{V_2^2}{R_2}} = 10 \log_{10} \frac{V_1^2}{V_2^2} + 10 \log_{10} \frac{R_2}{R_1}$$

Για $R_1 = R_2$

$$P_{dB} = 10 \log_{10} \frac{P_1}{P_2} = 20 \log_{10} \frac{V_1}{V_2}$$

Σχετική στάθμη ισχύος ως προς στάθμη αναφοράς



Σχετική τιμή ως προς στάθμη αναφοράς

$$P_{rel} = 10 \log_{10} \frac{P_1}{P_{ref}} = 10 \log_{10} P_1 - 10 \log_{10} P_{ref}$$

$$P_{dBm} = 10 \log_{10} \frac{P_1}{1mW} \qquad P_{dBW} = 10 \log_{10} \frac{P_1}{1W}$$

$$P_{dBm} = P_{dBW} + 30$$

Σχετική στάθμη ισχύος ως προς στάθμη αναφοράς



Άλγεβρα

$$10 \log_{10} \frac{P_1}{P_2} = 10 \log_{10} \frac{P_1 / P_{ref}}{P_2 / P_{ref}} = 10 \log_{10} \frac{P_1}{P_{ref}} - 10 \log_{10} \frac{P_2}{P_{ref}}$$

Αν $P_{ref} = 1\text{mW}$

$$10 \log_{10} \frac{P_1}{P_2} = P_{1dBm} - P_{2dBm} \quad P_{1dBm} = P_{2dBm} + 10 \log_{10} \frac{P_1}{P_2}$$

$$P_{1dBm} = P_{2dBm} + P_{dB}$$

Σχετική στάθμη ισχύος ως προς στάθμη αναφοράς



Παράδειγμα

$P_{in} = -100 \text{ dBm}$

$G = 80 \text{ dB}$

$P_{out} = P_{in} + G =$
 $= -100 \text{ dBm} + 80 \text{ dB} =$
 $= -20 \text{ dBm} = -50 \text{ dBW}$

Σχετική στάθμη ισχύος ως προς στάθμη αναφοράς



Παράδειγμα 2.1

Αν $P_{\text{t}} = 40\text{W}$, $P_{\text{t}}(\text{dBm}) = ;$, $P_{\text{t}}(\text{dBW}) = ;$

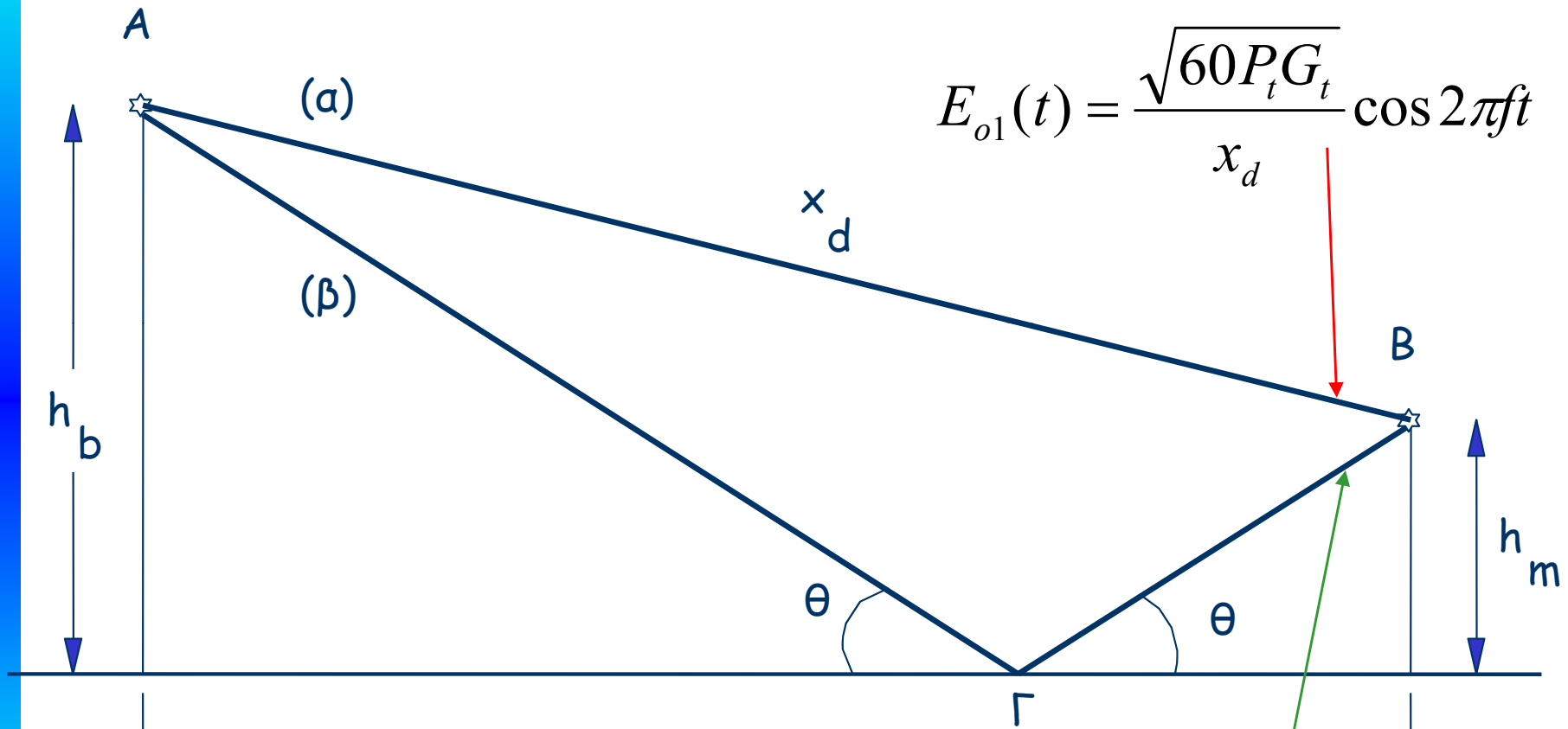
Αν $G_{\text{t}} = 1$, $f_{\text{c}} = 1.8\text{ GHz}$ και έχουμε διάδοση σε ελεύθερο χώρο $P_{\text{or}}(300\text{m}) = ;$, $P_{\text{or}}(8\text{ km}) = ;$

Θεωρήστε $G_{\text{r}} = 1$.

Απώλειες διαδρομής



Διάδοση πάνω από επίπεδη επιφάνεια



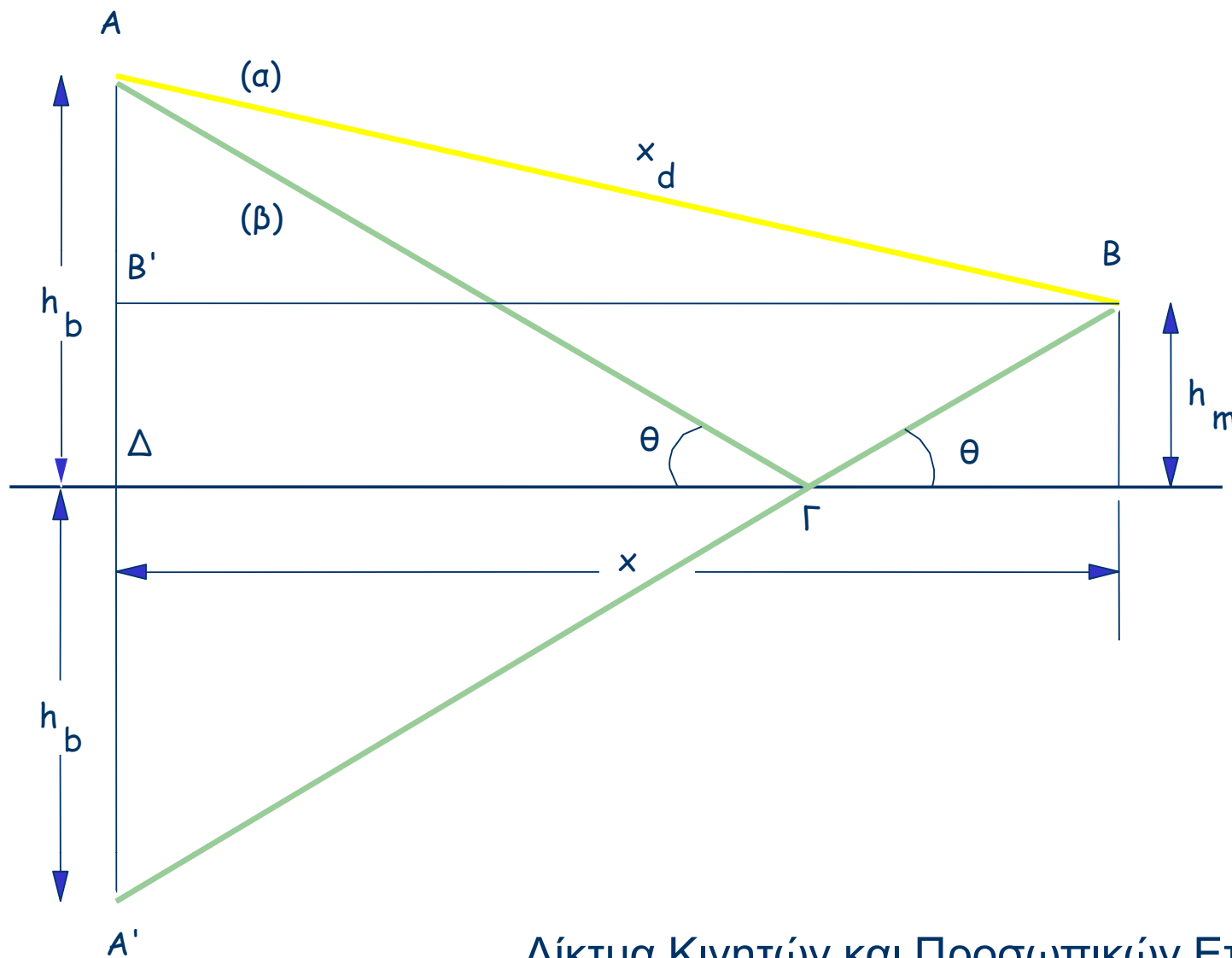
$$E_{o1}(t) = \frac{\sqrt{60P_t G_t}}{x_d} \cos 2\pi f t$$

$$E_{o2}(t) = R \cdot \frac{\sqrt{60P_t G_t}}{x_d + \Delta x} \cos\left(2\pi f t - \gamma - \frac{2\pi \Delta x}{\lambda}\right)$$

Απώλειες διαδρομής



Διάδοση πάνω από επίπεδη επιφάνεια



Απώλειες διαδρομής



Διάδοση πάνω από επίπεδη επιφάνεια

$$P_{rx} = P_t G_t G_r \left(\frac{h_b h_m}{x^2} \right)^2$$

$$P_{rx} = 10 \log(P_t G_t G_r) - 40 \log x + 20 \log h_b + 20 \log h_m$$

Απώλειες διαδρομής



Διάδοση πάνω από επίπεδη επιφάνεια

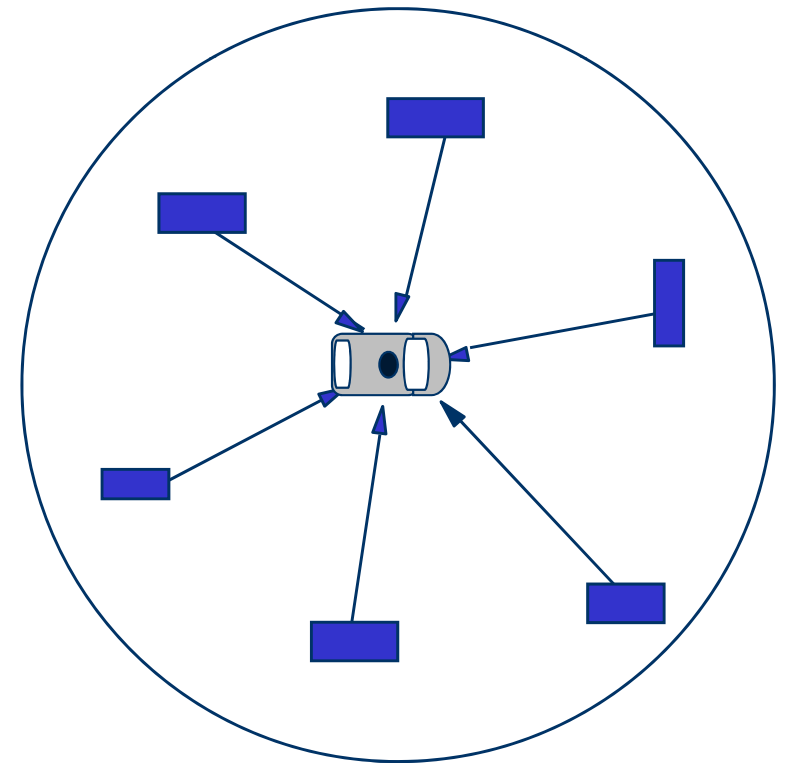
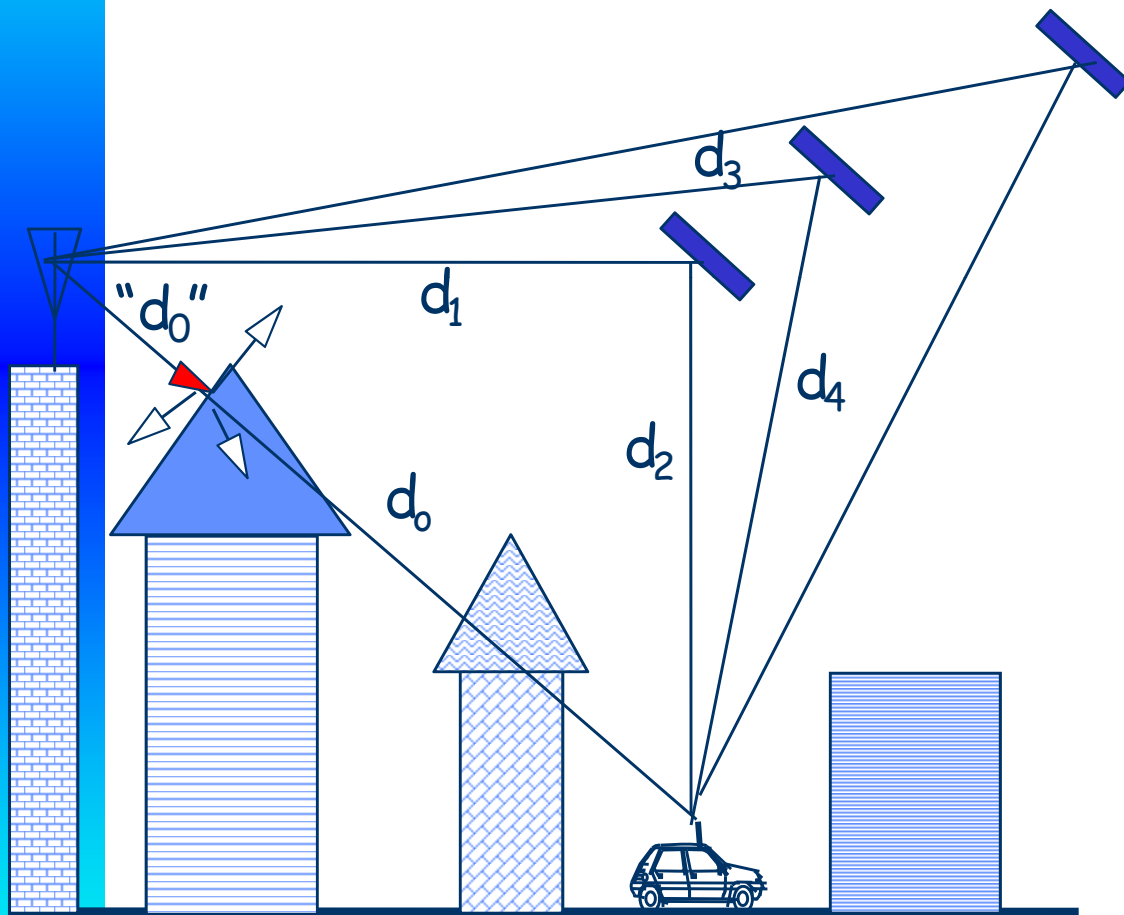
Παράδειγμα: Σύγκριση καλύψεων

Σταθμός βάσης καλύπτει 1 km σε περιοχή που μοντελοποιείται ως διάυλος δύο ακτίνων. Ποια θα ήταν η απόσταση κάλυψής του αν χρησιμοποιούταν σε δορυφόρο;

Απώλειες διαδρομής



Διάδοση μη-οπτικής επαφής



Απώλειες διαδρομής



Διάδοση μη-οπτικής επαφής

Βάσει εμπειρικών δεδομένων έχει αναπτυχθεί ένα γενικό μοντέλο για διάδοση NLOS

$$L(d) \propto L(d_0) \cdot \left(\frac{d}{d_0} \right)^n$$

$n: 3.5 \leq n \leq 5.$

d = Απόσταση μεταξύ κεραιών εκπομπής και λήψης

d_0 = Απόσταση αναφοράς (1 km ή 1-3 m)

$L(d_0)$ = Απώλειες διαδρομής σε απόσταση d_0 και διάδοση LOS

$L(d)$ = Απώλειες διαδρομής για διάδοση LOS και NLOS

Απώλειες διαδρομής



Διάδοση μη-οπτικής επαφής

*Απόλυτη μέση τιμή απωλειών διαδρομής
(absolute mean path loss)*

$$L(d) = L(d_0) + 10 \cdot n \cdot \log_{10}(d / d_0) \quad dB$$

Απώλειες διαδρομής



Διάδοση μη-οπτικής επαφής

Παράδειγμα 2.2

$$d = 1500\text{m}, f_c = 840 \text{ MHz.}$$

$P_{or} = -80\text{dBm}$. Το ΜΤ ταξιδεύει με 80km/h σε ευθεία διαδρομή και απομακρύνεται από τον σταθμό βάσης.

$n = 4$ και αμελείται η σκίαση. Ποια θα είναι η μέση ισχύς του σήματος ένα λεπτό αργότερα;

Σκίαση και απώλειες διαδρομής



Η τιμή των απωλειών διαδρομής $\mathcal{L}(d)$ είναι τυχαία μεταβλητή και έχει λογαριθμική-κανονική κατανομή γύρω από την απόλυτη μέση τιμή

$$\mathcal{L}(d) = L(d) + X_{\sigma} = L(d_0) + 10 \cdot n \cdot \log_{10}(d / d_0) + X_{\sigma} \quad \text{dB}$$

$$P_r(d) = P_t - \mathcal{L}(d) \text{dB}$$

X_{σ} (dB) τυχαία μεταβλητή Gauss, με μηδενική μέση τιμή και τυπική απόκλιση σ (dB)

Σκίαση και απώλειες διαδρομής



- Η λογαριθμική-κανονική κατανομή περιγράφει τις τυχαίες επιδράσεις σκίασης σε θέσεις που έχουν μεν την ίδια απόσταση από τον πομπό, αλλά έχουν διαφορετικούς βαθμούς αταξίας στη διαδρομή διάδοσης.
- Η λογαριθμική-κανονική σκίαση συνεπάγεται ότι οι μετρούμενες στάθμες σήματος, για συγκεκριμένη απόσταση από τον πομπό, έχουν κατανομή Gauss γύρω από την απόλυτη μέση τιμή στάθμης $L(d)$.
- Οι απώλειες διαδρομής είναι η μέση τιμή της λογαριθμικής κανονικής σκίασης, που ονομάζεται επίσης και **μέσος όρος περιοχής (area mean)**.

Σκίαση και απώλειες διαδρομής



Υπολογισμός περιθωρίου διαλείψεων

Παράδειγμα 2.3

Σύστημα κινητών επικοινωνιών πρέπει να παρέχει κατά 90% επιτυχείς επικοινωνίες στα όρια της περιοχής κάλυψης κάθε σταθμού βάσης. Η συνιστώσα της σκίασης έχει κατανομή Gauss με μηδενική μέση τιμή και τυπική απόκλιση 8 dB. Ποιο περιθώριο διαλείψεων απαιτείται;

Μέγιστη απόσταση ραδιοκάλυψης



Για συνθήκες LOS

$$\frac{P_r(d)}{P_t} = G_t G_r \left(\frac{\lambda}{4\pi d} \right)^2 = G_t G_r \left(\frac{c/f}{4\pi d} \right)^2$$

$$\begin{aligned} P_r(d) = P_{r \min} \quad d_{\max} &= \left(\frac{P_t G_t G_r}{P_{r \min}} \right)^{1/2} \cdot \frac{\lambda}{4\pi} \\ &= \left(\frac{P_t G_t G_r}{P_{r \min}} \right)^{1/2} \cdot \frac{c}{f} \cdot \frac{1}{4\pi} (m) \end{aligned}$$



Μέγιστη απόσταση ραδιοκάλυψης

Για γενικότερες συνθήκες NLOS

$$P_r = P_t \cdot G_t \cdot G_r \cdot L_{TOT}$$

$$L_{TOT} = L_{LOS} \cdot L_{NLOS}$$

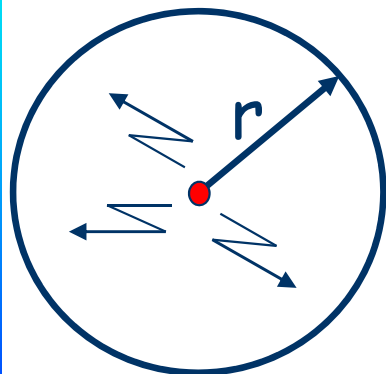
$$L_{TOT}(d) = \left(\frac{\lambda}{4\pi d_0} \right)^2 \cdot \left(\frac{d_0}{d} \right)^n$$

\uparrow \uparrow

(LOS) (NLOS)

$$d_{\max} = \left[\frac{P_t G_t G_r \left(\frac{\lambda}{4\pi d_0} \right)^2}{P_{r \min}} \right]^{1/n} d_0 (m)$$

Διευκρινίσεις (I)



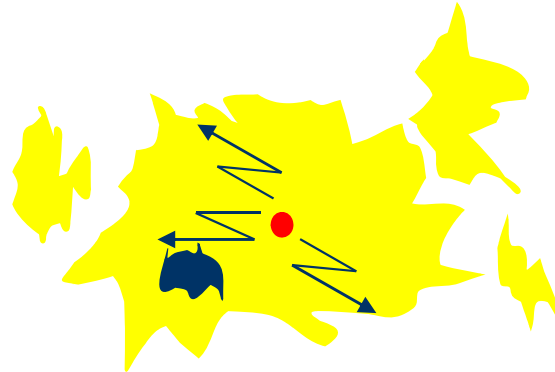
Ελεύθερος χώρος: Όλα τα σημεία του κύκλου έχουν την ίδια στάθμη λήψης ή τον ίδιο S/N (uplink ή downlink)

Ιδανικό επίπεδο έδαφος: Η ίδια θεώρηση

NLOS (δηλ. d^{-n}) και λογαριθμική κανονική σκίαση:

- ❑ τα σημεία στην περιφέρεια θα έχουν την ίδια πιθανότητα για μια συγκεκριμένη στάθμη σήματος ή για έναν συγκεκριμένο S/N
- ❑ σε όλη την περιφέρεια, ο λόγος του μήκους του τόξου στο οποίο έχουμε σήμα πάνω (ή κάτω) από μια στάθμη προς το ολικό μήκος της περιφέρειας θα έχει καθορισμένη τιμή
- ❑ δεν αποτελεί ο κύκλος γεωμετρικό τόπο συγκεκριμένης στάθμης σήματος

Διευκρινίσεις (II)



- ένα περίγραμμα όπου όλα τα σημεία του θα έχουν ίδια στάθμη σήματος ή ίδιον λόγο S/N , θα έχει ακανόνιστο σχήμα και μπορεί ακόμη να είναι πολλαπλά συνδεδεμένο
- έτσι, ο όρος κάλυψη ή ο επιτρεπόμενος διαχωρισμός σταθμών βάσης (κυψελών) είναι στατιστικός για το γενικό ασύρματο περιβάλλον

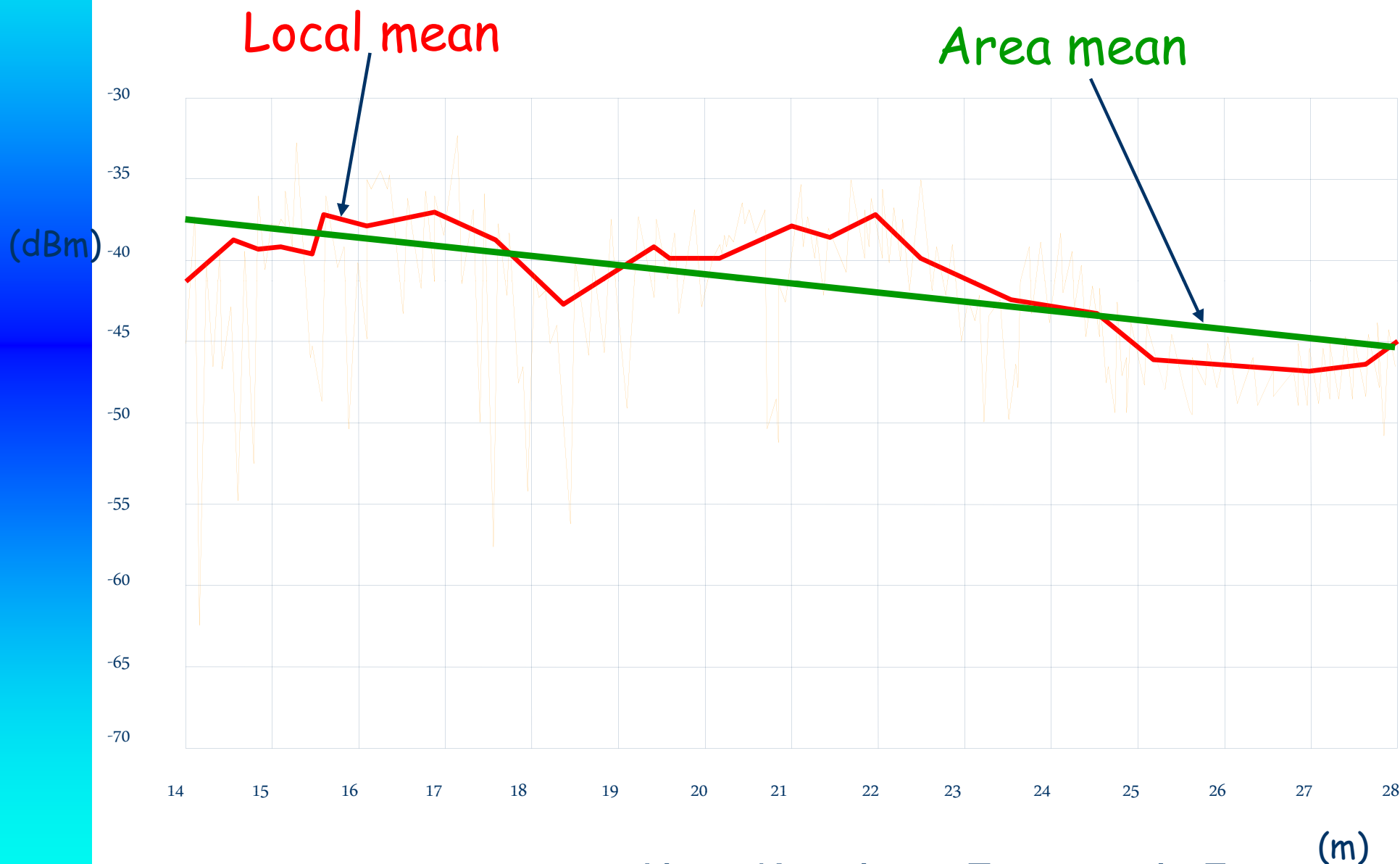
Διευκρινίσεις (III)



Στην τυπική διάδοση στα επίγεια συστήματα κινητών επικοινωνιών ισχύουν τρία καθεστώτα, ανάλογα με τη χωρική κλίμακα:

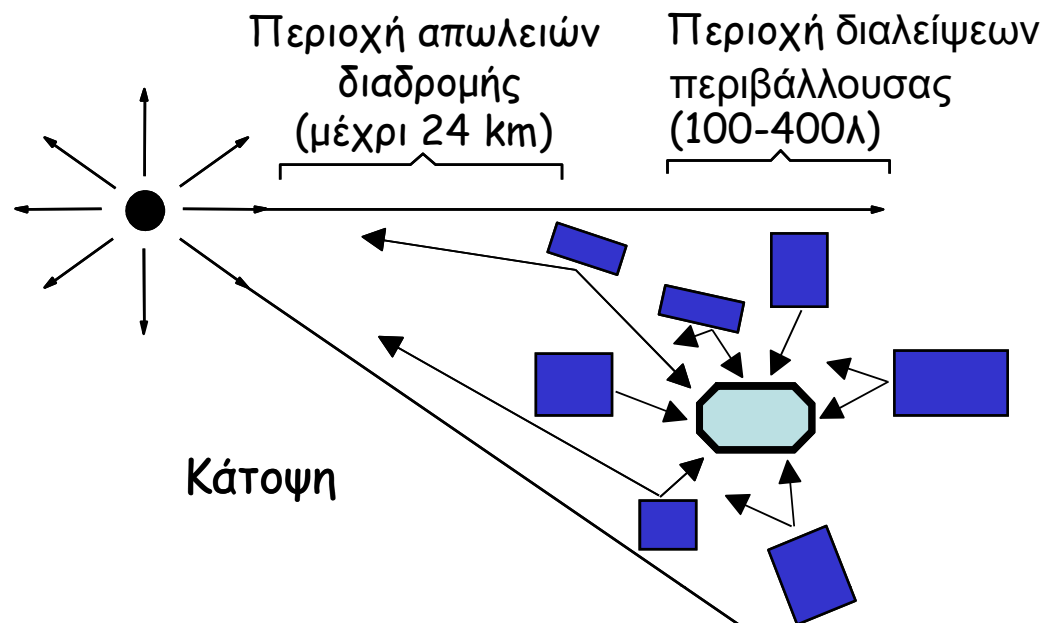
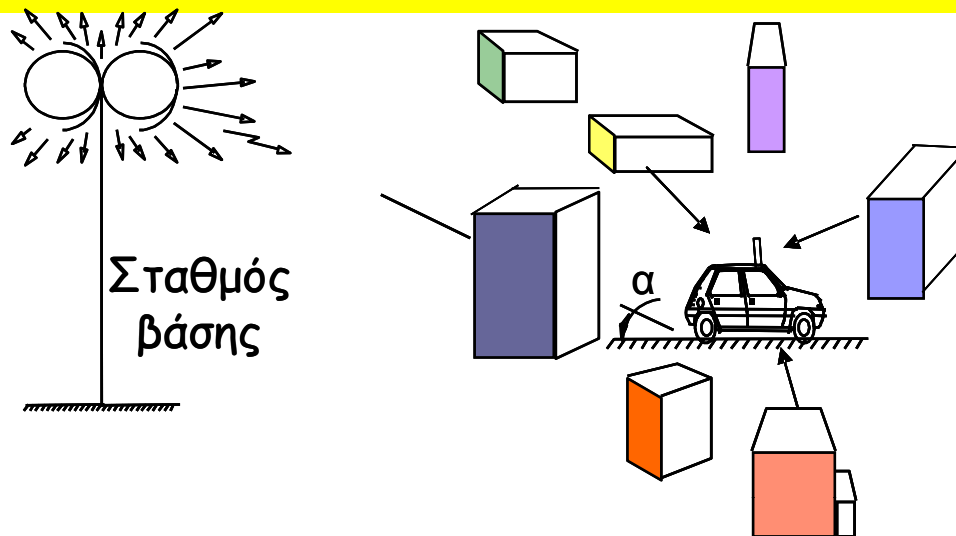
- **Μέσος όρος περιοχής (area mean):** χαρακτηρίζεται από τον εκθέτη n , με το οποίο μειώνεται η μέση ισχύς
- **Τοπικός μέσος όρος (local mean):** η ισχύς σε μια περιοχή είναι κατανεμημένη λογαριθμικά-κανονικά γύρω από την area mean ($\sigma = 6 - 8$ dB)
- Σε αποστάσεις < 100 λ η μέση ισχύς είναι ουσιαστικά σταθερή. Οι μεταβολές στην περιβάλλουσα έχουν κατανομή Rayleigh)

Στάθμη του λαμβανόμενου σήματος



Δίκτυα Κινητών και Προσωπικών Επικοινωνιών (m)

Διαλείψεις πολλαπλών διαδρομών



Δίκτυα Κινητών και Προσωπικών Επικοινωνιών

Διαλείψεις πολλαπλών διαδρομών



Το κινητό τερματικό γενικά λαμβάνει ένα άμεσο και πολλά ανακλώμενα κύματα

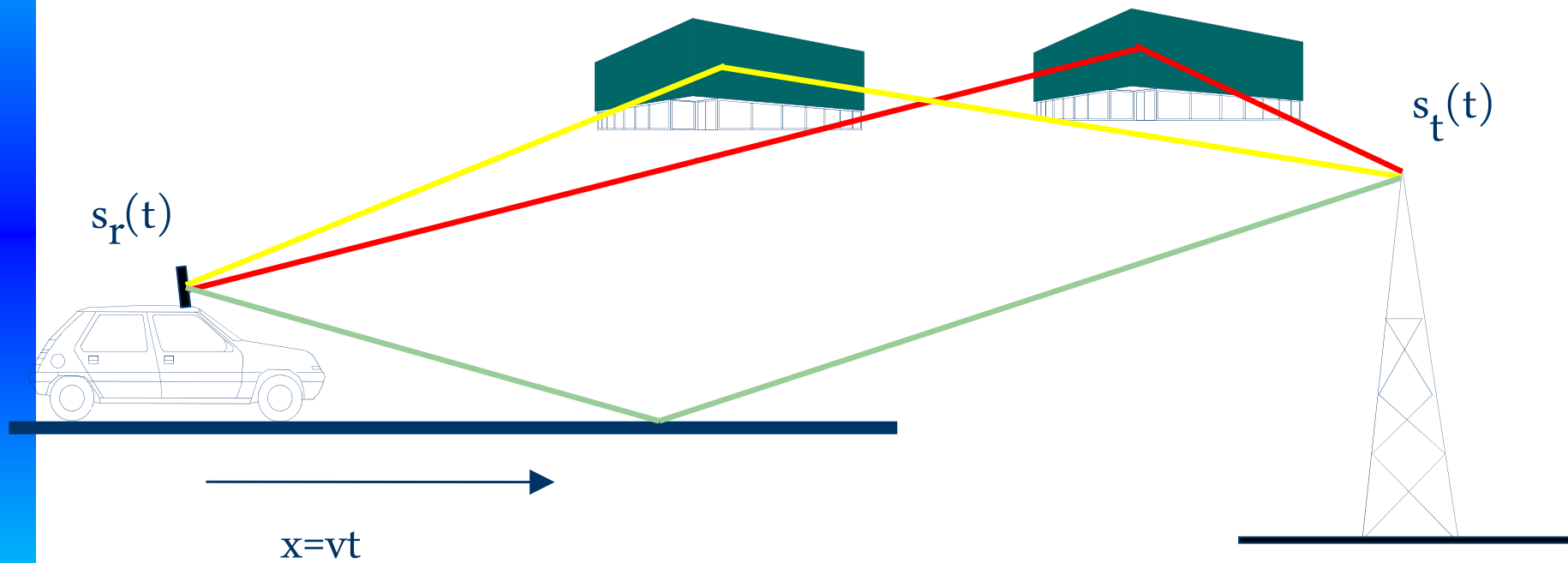
➤ Στατιστικό μοντέλο Rice

➤ Το άμεσο κύμα παρουσιάζεται σχετικά πιο ισχυρό

➤ Κατανομή Rayleigh

➤ Ο αριθμός των επιπέδων κυμάτων που καταφθάνουν από διάφορες κατευθύνσεις είναι αρκούντως μεγάλος και δεν υπάρχει ισχυρή συνιστώσα από διάδοση οπτικής επαφής

Διαλείψεις περιβάλλουσας



Διαλείψεις περιβάλλουσας



$$\tilde{s}_t(t) = A \cdot e^{j[2\pi f_c t + \psi_s(t)]}$$

Το χρονικά μεταβαλλόμενο τυχαίο μέσο διάδοσης εκφράζεται με τη χαρακτηριστική

$$\tilde{p}(t) = r_p(t) e^{j\psi_r(t)} \quad r_p(t) = m(t) \cdot r_0(t)$$

$m(t)$: αφορά τις μακρόχρονες διαλείψεις, δηλ. τον τοπικό μέσο όρο

$r_0(t)$: αφορά τις βραχύχρονες διαλείψεις, έχει μέση τιμή 1 (αλλιώς δεν ισχύει ο ορισμός)

Διαλείψεις περιβάλλουσας



$$x = v \cdot t \quad r_p(x) = m(x) \cdot r_0(x)$$

Μοντέλο γινομένου

$$\begin{aligned} \tilde{s}_r(t) &= \tilde{s}_t(t) \cdot \tilde{p}(t) = \\ &= A \cdot m(t) \cdot r_0(t) \cdot e^{j[2\pi f_c t + \psi_s(t) + \psi_r(t)]} \end{aligned}$$

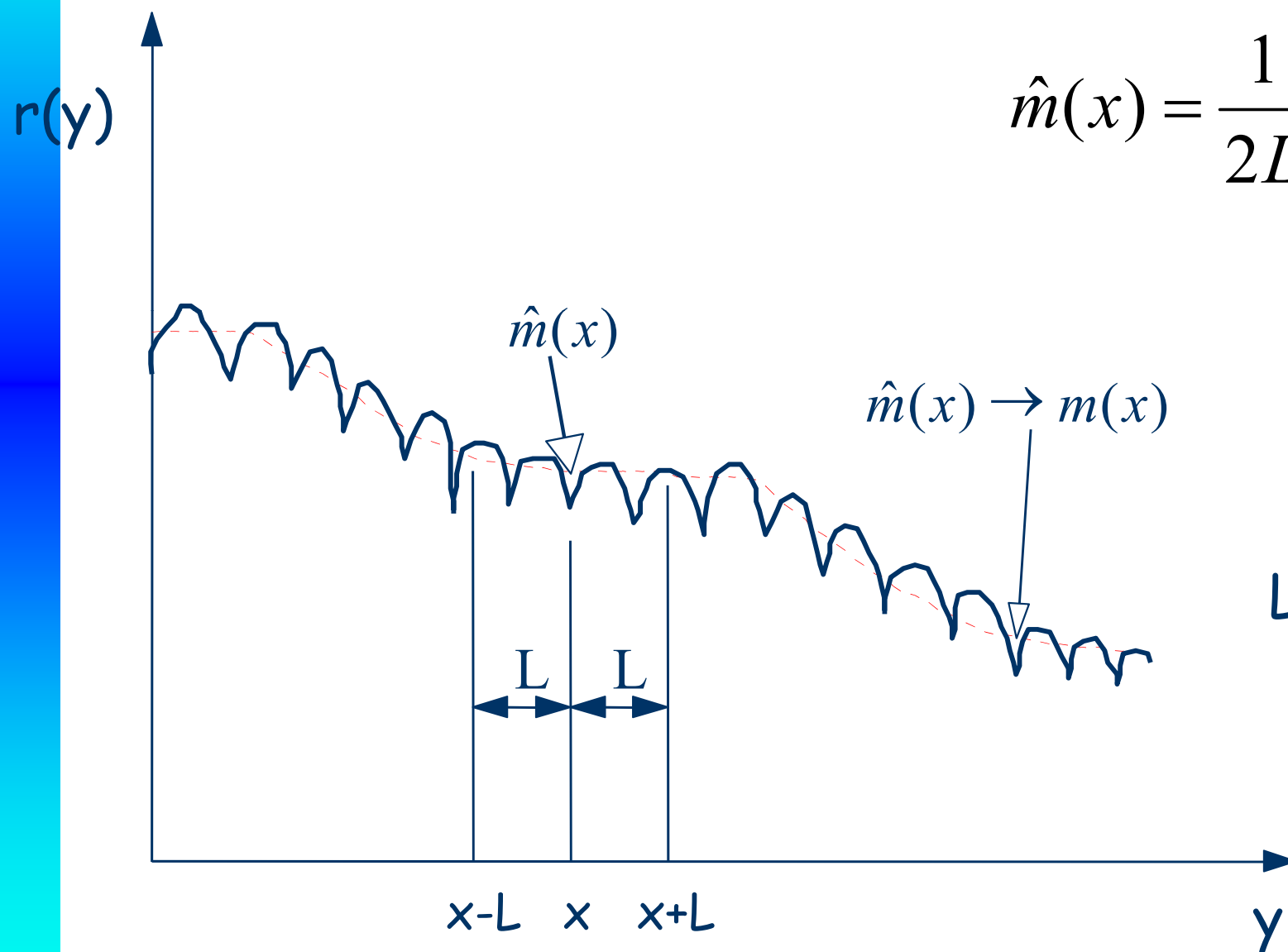
$r(t) = Am(t)r_0(t)$: περιβάλλουσα

$\psi_r(t)$: τυχαία συνιστώσα φάσης

Μακρόχρονες διαλείψεις



Τοπικός μέσος όρος



$$\hat{m}(x) = \frac{1}{2L} \int_{x-L}^{x+L} r(y) dy$$

$$L = 20\lambda - 40\lambda$$

Τοπικός μέσος όρος



$$\hat{m}(x) = \frac{1}{2L} \int_{x-L}^{x+L} r(y) dy = \frac{1}{2L} \int_{x-L}^{x+L} m(y) r_0(y) dy$$

Για $L = 20\lambda$ έως 40λ $m(x) = \hat{m}(x)$

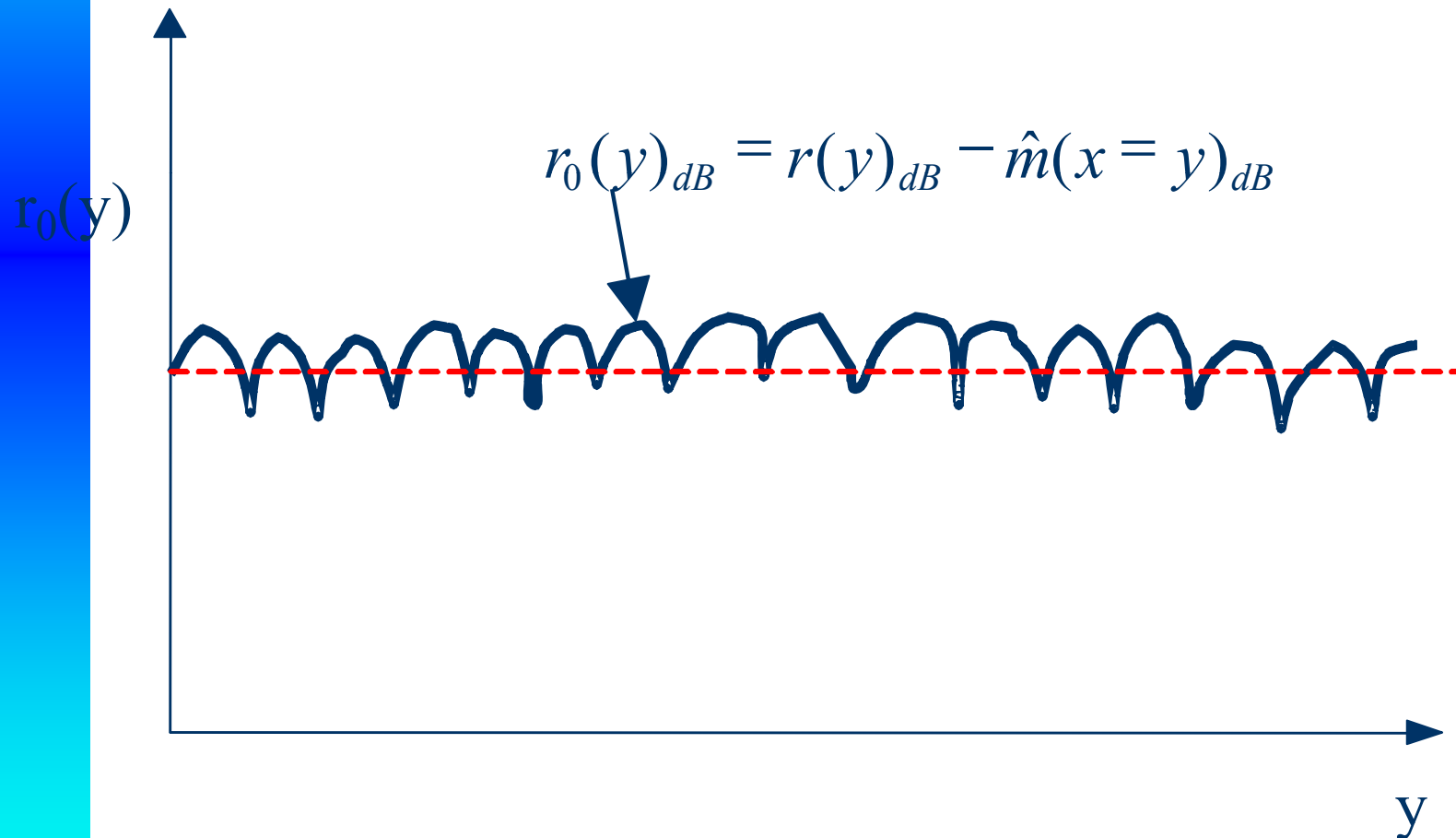
$$\hat{m}(x) = m(x) \cdot \frac{1}{2L} \int_{x-L}^{x+L} r_0(y) dy$$

$$\frac{1}{2L} \int_{x-L}^{x+L} r_0(y) dy \rightarrow 1$$

Τοπικός μέσος όρος



$$r_0(y) = \frac{r(y)}{\hat{m}(x=y)}$$

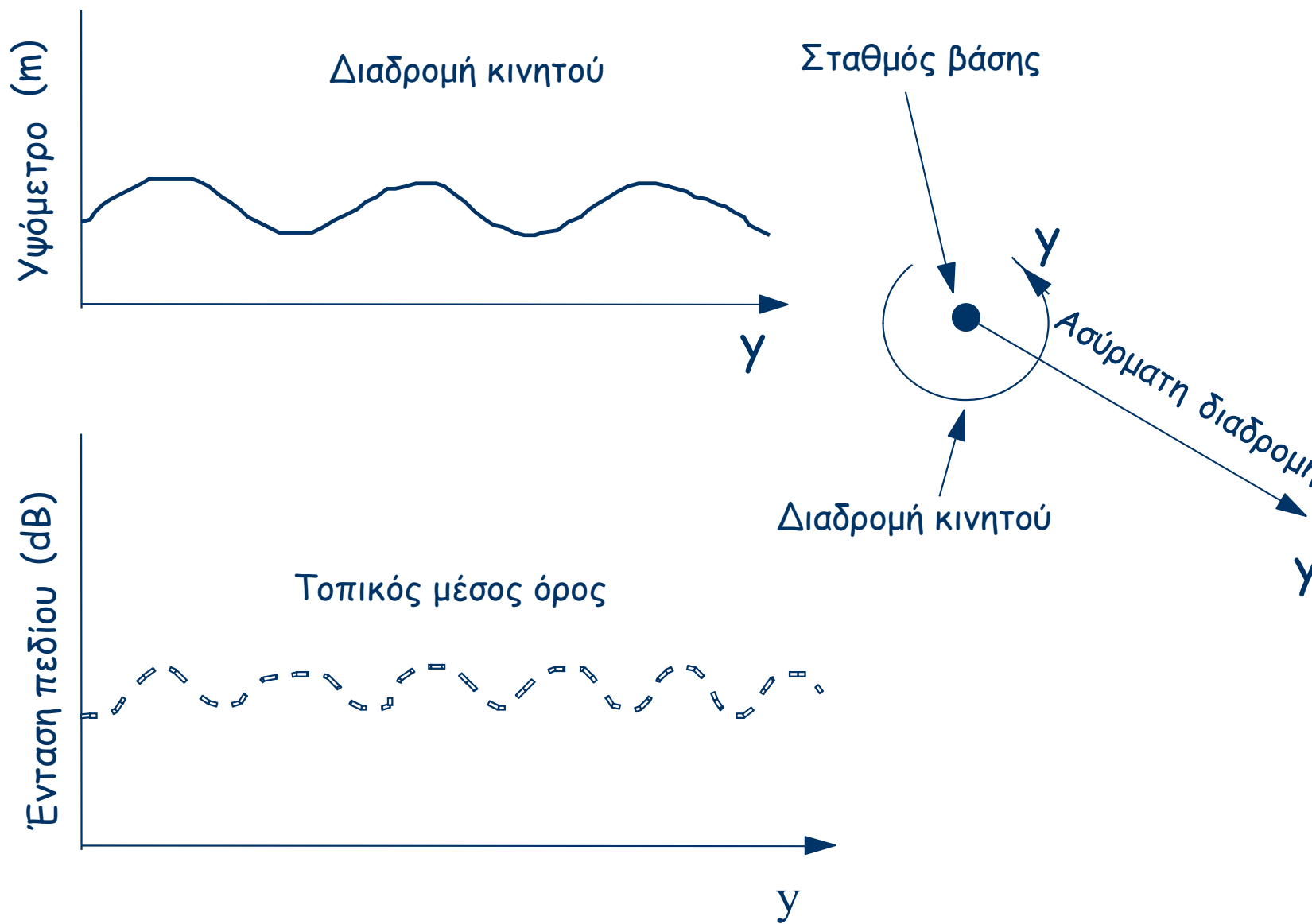


Τοπικός μέσος όρος

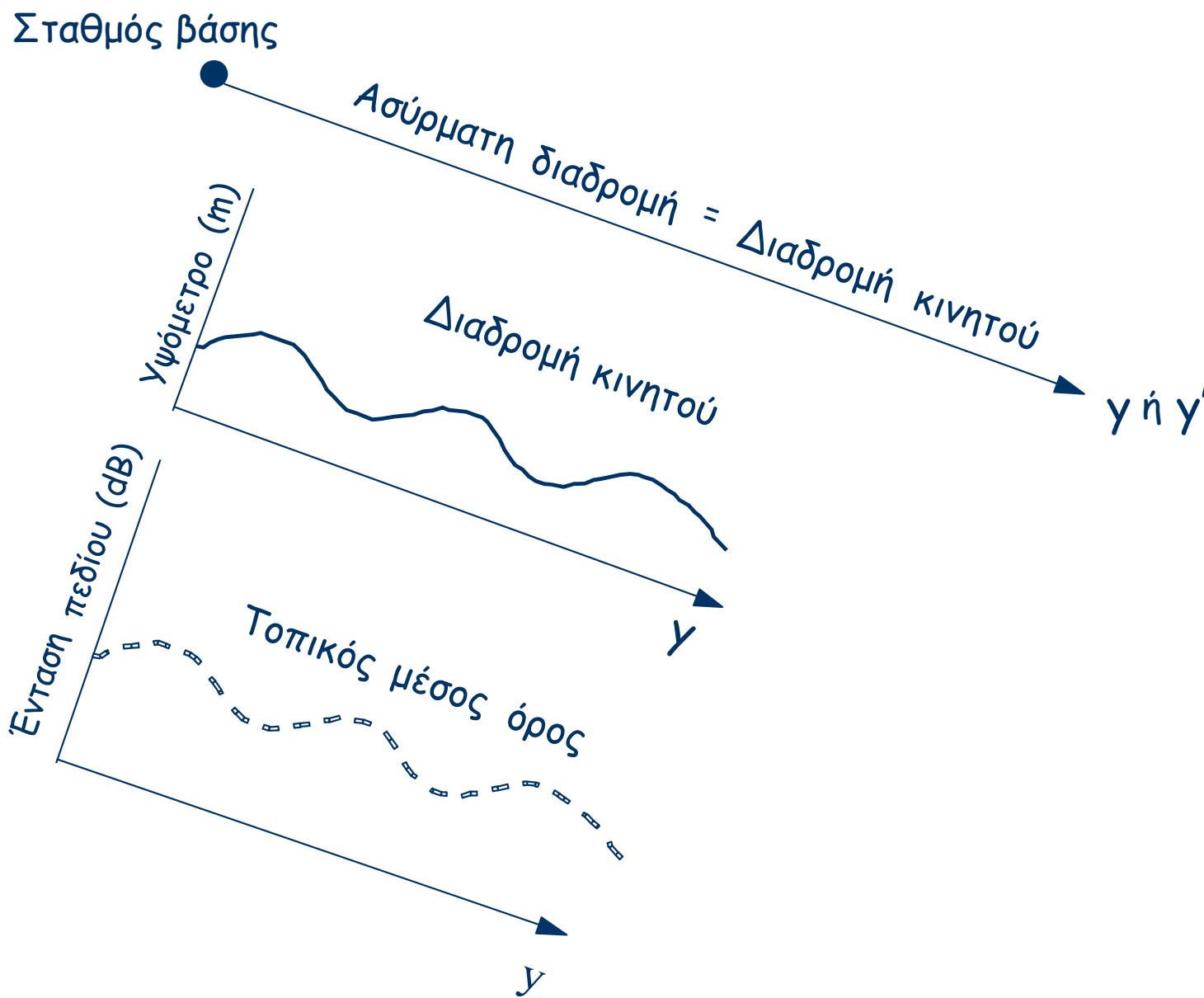


- Για περιοχές με επίπεδη επιφάνεια το $m(y)$ είναι σταθερό σε όλη τη μετρούμενη περιοχή
- Σε μη επίπεδες περιοχές το $m(y)$ παρουσιάζει διακυμάνσεις ανάλογες με το περίγραμμα της περιοχής
- Οι διακυμάνσεις οφείλονται κυρίως στη μορφολογία του εδάφους της περιοχής και στα κτίρια που υπάρχουν μεταξύ σταθμού βάσης και κινητού

Τοπικός μέσος όρος



Τοπικός μέσος όρος



Βραχύχρονες διαλείψεις



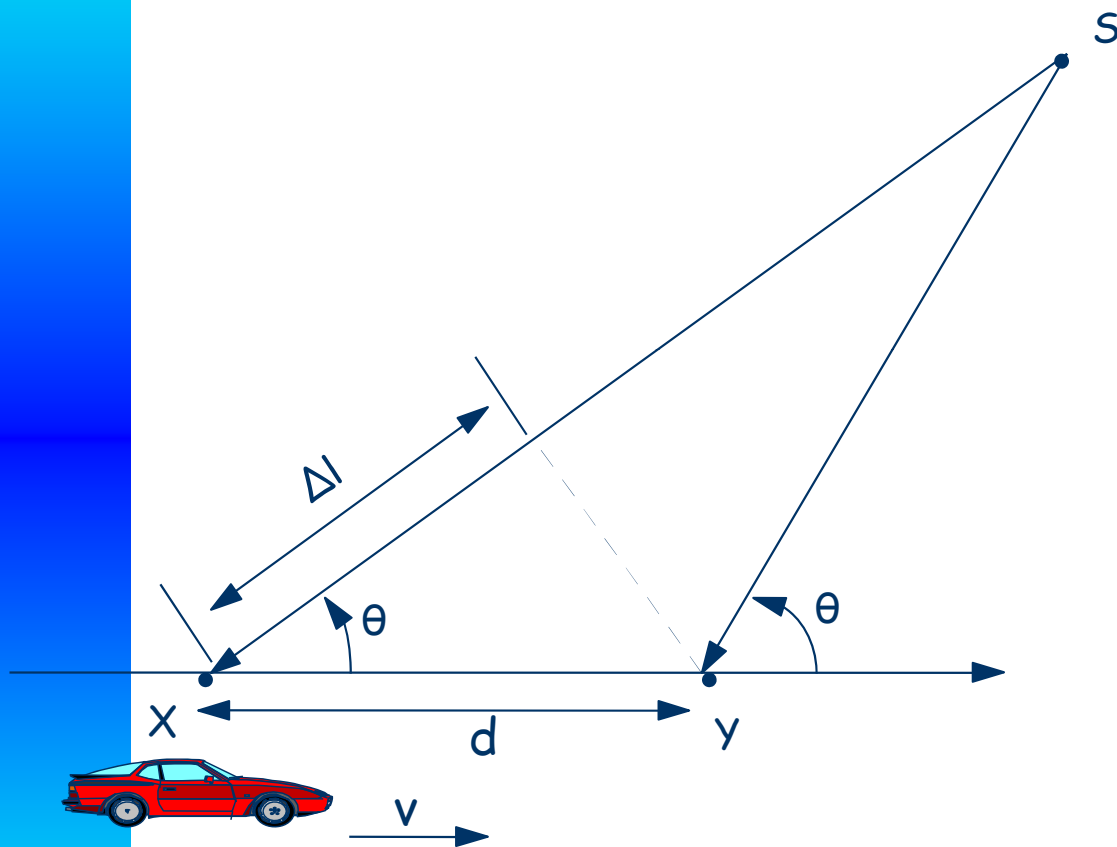
- Οφείλονται κυρίως στις πολλαπλές διαδρομές
- Τρεις κυριότερες συνέπειες από τις πολλαπλές διαδρομές:
 - **Απότομες αλλαγές στη στάθμη του σήματος**, όταν διανύονται μικρές αποστάσεις ή μεσολαβούν μικρά χρονικά διαστήματα
 - **Τυχαία διαμόρφωση συχνότητας** λόγω της ολίσθησης Doppler, που είναι διαφορετική για τα διάφορα σήματα πολλαπλών διαδρομών
 - **Εξάπλωση χρονοκαθυστέρησης**, η οποία προκαλείται από διαφορετική καθυστέρηση σε κάθε διαδρομή που ακολουθείται από το σήμα.

Βραχύχρονες διαλείψεις



- Παράγοντες που επηρεάζουν τις βραχύχρονες διαλείψεις:
 - Πολλαπλές διαδρομές
 - Ταχύτητα κινητού
 - Ταχύτητα περιβαλλόντων αντικειμένων
 - Εύρος ζώνης του μεταδιδόμενου σήματος

Ολίσθηση Doppler



$$\Delta l = d \cos \theta = v \Delta t \cos \theta$$

$$\Delta \phi = \frac{2\pi \Delta l}{\lambda} = \frac{2\pi v \Delta t}{\lambda} \cos \theta$$

$$f_D = \frac{\Delta \phi}{2\pi \Delta t} = \frac{v}{\lambda} \cos \theta$$

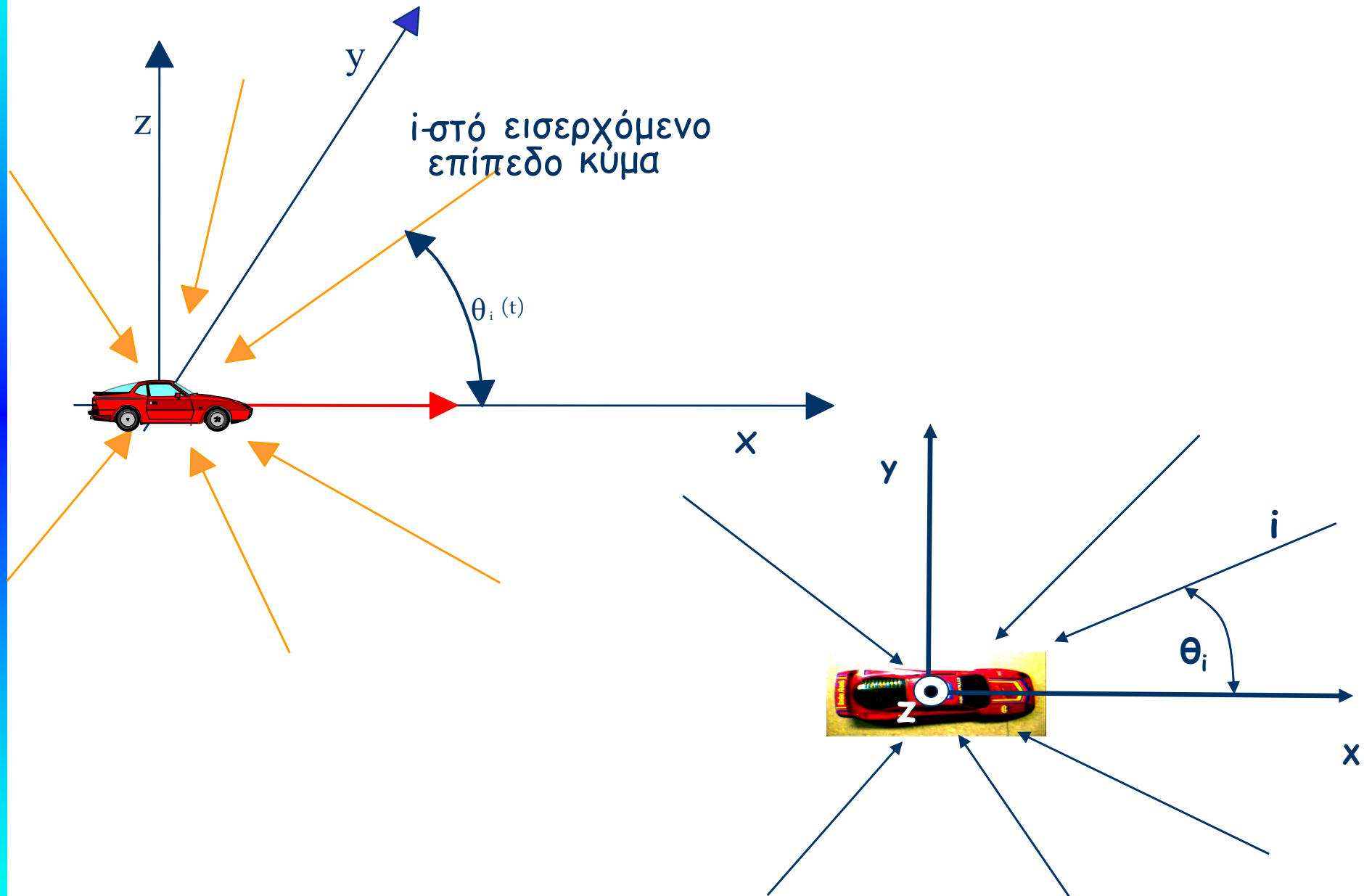
Διαλείψεις πολλαπλών διαδρομών σε επίπεδους διαύλους



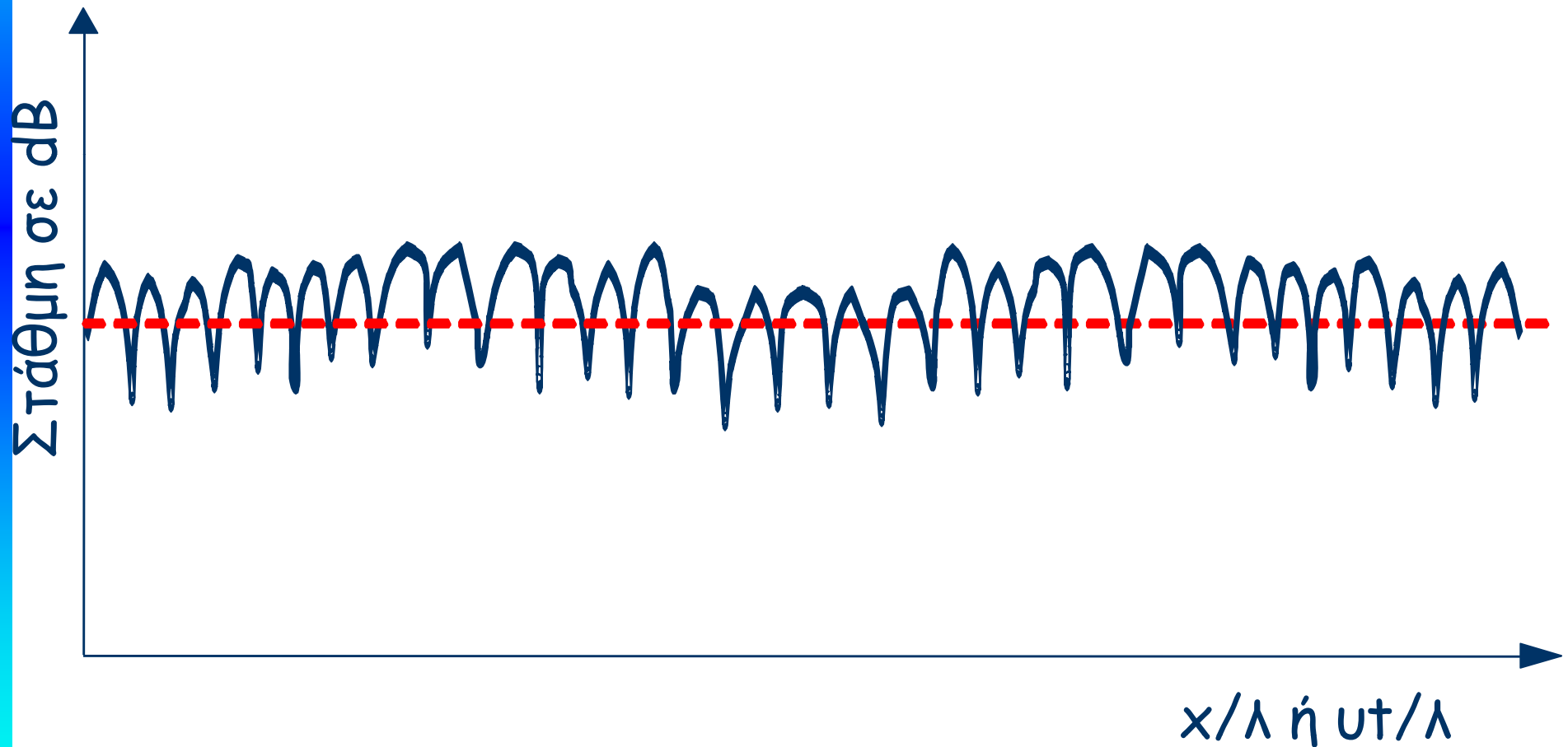
Επίπεδος δίαυλος ή δίαυλος στενής ζώνης

- Το αντίστροφο του εύρους ζώνης του σήματος είναι πολύ μεγαλύτερο από τη χρονική διασπορά των καθυστερήσεων λόγω πολλαπλών διαδρομών
- Η διάρκεια των διαμορφωμένων συμβόλων είναι πολύ μεγαλύτερη από τη διασπορά καθυστέρησης
- Όλες οι συχνότητες του μεταδιδόμενου σήματος θα υφίστανται την ίδια τυχαία εξασθένηση και μετατόπιση φάσης, λόγω πολλαπλών διαδρομών

Διαλείψεις πολλαπλών διαδρομών σε επίπεδους διαύλους



Διαλείψεις για N διαδρομές



Διαλείψεις πολλαπλών διαδρομών σε επίπεδους διαύλους



$$f_{D,i}(t) = \frac{v}{\lambda} \cos \theta_i(t) = f_m \cos \theta_i(t) \quad \text{Hz}$$

$$x(t) = \text{Re} \left\{ \tilde{u}(t) \cdot e^{j2\pi f_c t} \right\}$$

$$s(t) = \text{Re} \left\{ \tilde{r}(t) \cdot e^{j2\pi f_c t} \right\}$$

$$\tilde{r}(t) = \sum_{i=1}^N A_i(t) \cdot e^{-j2\pi[(f_c + f_{D,i}(t))\tau_i(t) - f_{D,i}(t)t]} \tilde{u}(t - \tau_i(t))$$

Διαλείψεις πολλαπλών διαδρομών σε επίπεδους διαύλους



$$\tilde{r}(t) = \sum_{i=1}^N A_i(t) \cdot e^{-j\phi_i(t)} \tilde{u}(t - \tau_i(t))$$

$$\phi_i(t) = 2\pi[(f_c + f_{D,i}(t))\tau_i(t) - f_{D,i}(t)t]$$

Ο δίαυλος μπορεί να μοντελοποιηθεί ως χρονικά μεταβαλλόμενο φίλτρο με μιγαδική κρουστική απόκριση

$$\tilde{h}(t, \tau) = \sum_{i=1}^N A_i(t) \cdot e^{-j\phi_i(t)} \delta(\tau - \tau_i(t))$$

$\tilde{h}(t, \tau)$ είναι η απόκριση του διαύλου τη στιγμή t σε παλμό $\delta(t - \tau)$

Διαλείψεις πολλαπλών διαδρομών σε επίπεδους διαύλους



- Επειδή $f_c + f_{D,i}(t)$ είναι πολύ μεγάλο, μικρή μεταβολή στο $\tau_i(t)$ προκαλεί μεγάλη μεταβολή στη φάση $\varphi_i(t)$.
- Σε οποιαδήποτε χρονική στιγμή t , οι συνιστώσες με τις τυχαίες φάσεις προστίθενται εποικοδομητικά ή μη.
- Το πλάτος $A_i(t)$ εξαρτάται από την ενεργό επιφάνεια του i -στού σκεδαστή (δεν αλλάζει για μικρές αποστάσεις).

Διαλείψεις πολλαπλών διαδρομών σε επίπεδους διαύλους



- οι διαλείψεις οφείλονται κυρίως στις χρονικές μεταβολές της τυχαίας φάσης $\varphi_i(t)$ που προκαλούνται από τις ολισθήσεις Doppler $f_{D,i}(t)$.
- αν θεωρήσουμε επίπεδους διαύλους, μπορούμε να χρησιμοποιήσουμε αδιαμόρφωτο φέρον για να μελετήσουμε την περιβάλλουσα

$$\tilde{h}(t, \tau) = \sum_{i=1}^N A_i(t) \cdot e^{-j\phi_i(t)} \delta(\tau - \bar{\tau}) = \tilde{g}(t) \delta(\tau - \bar{\tau})$$

$$\tilde{H}(t, f) = \tilde{g}(t) e^{-j2\pi f \bar{\tau}} \quad \left| \tilde{H}(t, f) \right| = \left| \tilde{g}(t) \right|$$

Διαλείψεις πολλαπλών διαδρομών σε επίπεδους διαύλους



Αδιαμόρφωτο φέρον $\Rightarrow \tilde{r}(t) = \sum_{i=1}^N A_i(t) \cdot e^{-j\phi_i(t)}$

$$s(t) = s_c(t) \cos 2\pi f_c t - s_s(t) \sin 2\pi f_c t$$

$$s_c(t) = \sum_{i=1}^N A_i(t) \cos \phi_i(t) \quad s_s(t) = \sum_{i=1}^N A_i(t) \sin \phi_i(t)$$

$$\tilde{r}(t) = s_c(t) + js_s(t)$$

Διαλείψεις πολλαπλών διαδρομών σε επίπεδους διαύλους



Για μεγάλο αριθμό πολλαπλών διαδρομών, N

- Το σύνθετο σήμα στη λήψη αποτελείται από μεγάλο αριθμό επίπεδων κυμάτων και η μιγαδική περιβάλλουσα μπορεί να μοντελοποιηθεί ως μιγαδική στοχαστική ανέλιξη Gauss
- Όταν δεν υπάρχει διάδοση οπτικής επαφής, οι συνιστώσες $s_c(t)$ και $s_s(t)$ έχουν μηδενική μέση τιμή.

Διαλείψεις πολλαπλών διαδρομών σε επίπεδους διαύλους



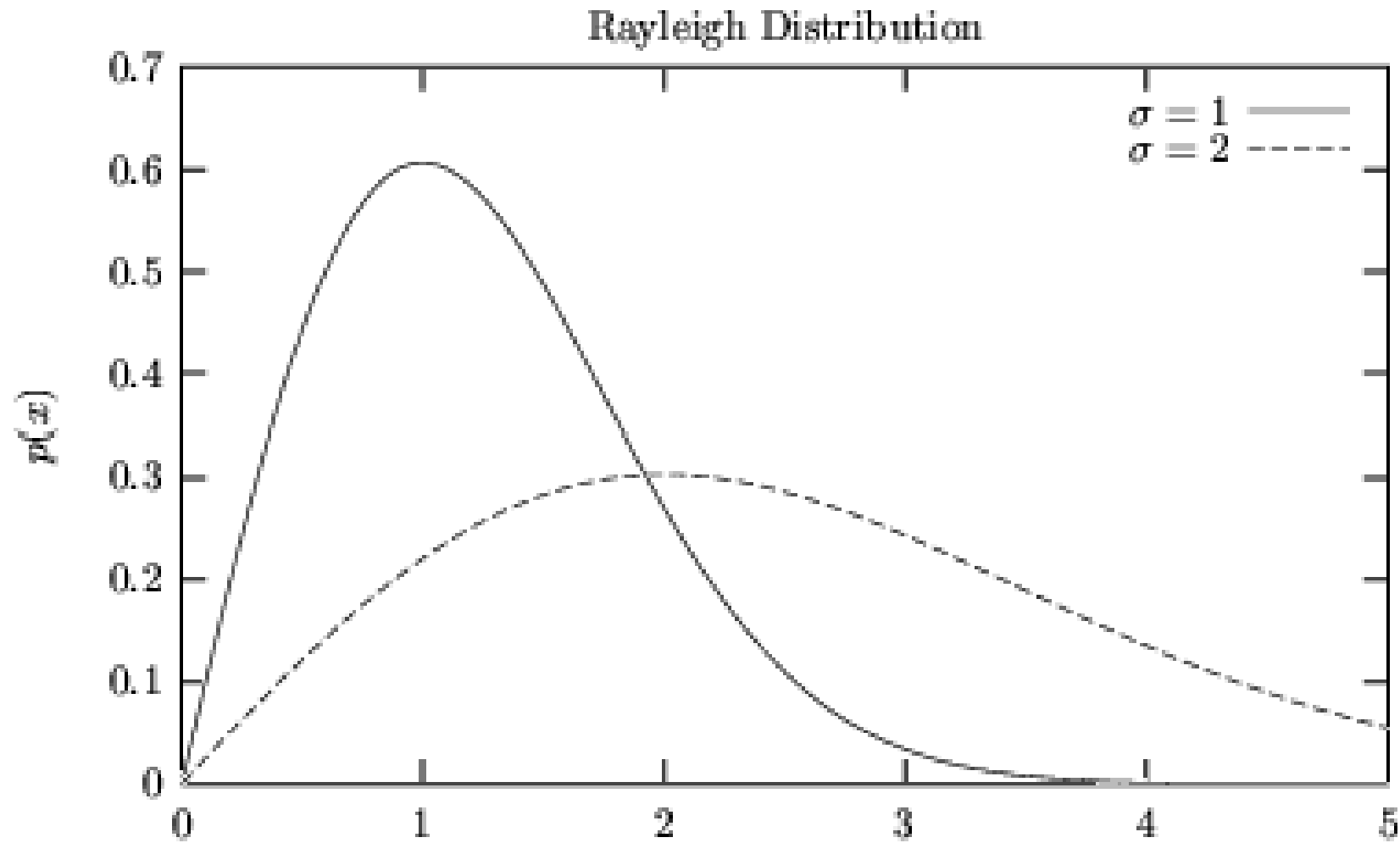
$$E[s_c^2(t)] = E[s_s^2(t)] = \frac{1}{2} \sum_{i=1}^N A_i^2 = \sigma^2$$

$$r(t) = \sqrt{s_c^2(t) + s_s^2(t)} \quad \phi(t) = \tan^{-1} \frac{s_s(t)}{s_c(t)}$$

Η pdf της $r(t)$ είναι Rayleigh και εκφράζεται ως

$$p(r) = \frac{r}{\sigma^2} e^{-\frac{r^2}{2\sigma^2}}, \text{ για } r \geq 0$$

Κατανομή Rayleigh



Διαλείψεις πολλαπλών διαδρομών σε επίπεδους διαύλους



Η μέση ισχύς του λαμβανόμενου σήματος είναι:

$$P_0 = E[r^2(t)] = E[s_c^2(t)] + E[s_s^2(t)] = 2\sigma^2$$

$$p(r) = \frac{2r}{P_0} e^{-\frac{r^2}{P_0}}, \text{ για } r \geq 0$$

Η φάση φ του λαμβανόμενου σήματος είναι ομοιόμορφα κατανομημένη από $-\pi$ έως π

Διαλείψεις πολλαπλών διαδρομών σε επίπεδους διαύλους



Η πιθανότητα ότι η περιβάλλουσα του λαμβανόμενου σήματος δεν υπερβαίνει δοθείσα τιμή R

$$P(R) = \text{prob}(r \leq R) = \int_0^R \frac{r}{\sigma^2} e^{-\frac{r^2}{2\sigma^2}} dr$$

$$P(R) = 1 - e^{-\frac{R^2}{2\sigma^2}} = 1 - e^{-\frac{R^2}{P_0}}$$

Διαλείψεις πολλαπλών διαδρομών σε επίπεδους διαύλους



- Η διάδοση μέσω πολλαπλών διαδρομών είναι συνήθως στοχαστική ανέλιξη στον χώρο, αφού οι διαδρομές είναι συναρτήσεις των συντεταγμένων x, y, z .
- Η κίνηση μέσω μιας χωρικής μεταβολής παράγει μια χρονικά μεταβαλλόμενη στοχαστική ανέλιξη.
- Η κίνηση $u_x t$ με ταχύτητα u_x , μετατρέπει τις μεταβολές απόστασης σε χρονικές με ρυθμό μεταβολής (διαλείψεων): $(u_x / c) \cdot f = u_x / \lambda$.

Διαλείψεις πολλαπλών διαδρομών σε επίπεδους διαύλους



- Η pdf Rayleigh περιγράφει τη στατιστική πρώτου βαθμού για την περιβάλλουσα του σήματος σε αποστάσεις σχετικά μικρές, ώστε η μέση τιμή της να εκλαμβάνεται ως σταθερή.
- Ενδιαφέρει μια ποσοτική περιγραφή του ρυθμού διαλείψεων της περιβάλλουσας και η μέση διάρκειά τους κάτω από δοθείσα στάθμη.
- Βοηθάει στην επιλογή του bit rate, του μήκους της κωδικής λέξης και επιτρέπει μια εκτίμηση της επίδοσης του συστήματος.

Ρυθμός υπέρβασης στάθμης



$$\frac{dr}{dt} = \dot{r} > 0$$

$$N(R) = \int_0^{\infty} \dot{r} p(R, \dot{r}) d\dot{r}$$

$$N(R) = \sqrt{\frac{\pi}{\sigma^2}} R f_m e^{-\frac{R^2}{2\sigma^2}}$$

$$R_{rms} = \sqrt{2}\sigma = \sqrt{P_0}$$

$$N(R) = \sqrt{2\pi} f_m \rho e^{-\rho^2}$$

$$N(R) \approx \sqrt{2\pi} \frac{v}{\lambda} \rho$$

$$\rho = R / R_{rms} \quad f_m = v / \lambda$$

Μέση διάρκεια διαλείψεων



$$E[\tau_R] = \tau(R) = \frac{\text{prob}[r \leq R]}{N(R)}$$

$$\tau(R) = \frac{e^{\rho^2} - 1}{\sqrt{2\pi} f_m \rho} = \frac{e^{\rho^2} - 1}{n_o \cdot \rho}$$

$$\tau(R) \approx \frac{\lambda}{v} \frac{\rho}{\sqrt{2\pi}}$$

Μέση διάρκεια διαλείψεων



Παράδειγμα 2.6

Να βρεθεί η μέση διάρκεια διαλείψεων για $\rho = 1/\sqrt{2}$, $f_D = 30$ Hz. Για δυαδική ψηφιακή διαμόρφωση με $R = 40$ bps, είναι οι διαλείψεις Rayleigh αργές ή γρήγορες; Ποιος είναι ο μέσος αριθμός εσφαλμένων bit ανά sec για τον δοθέντα ρυθμό μετάδοσης; Θεωρήστε ότι εμφανίζεται ένα εσφαλμένο bit κάθε φορά που οποιοδήποτε τμήμα του bit αντιμετωπίζει διάλειψη για την οποία $\rho < 0.1$.

Διαλείψεις πολλαπλών διαδρομών σε διαύλους ευρείας ζώνης



- Η διασπορά των καθυστερήσεων λόγω πολλαπλών διαδρομών είναι μεγάλη σε σύγκριση με το αντίστροφο του εύρους ζώνης του σήματος
- Οι συνιστώσες συχνότητας του μεταδιδόμενου σήματος θα υφίστανται διαφορετικές καθυστερήσεις φάσης κατά μήκος των διαφόρων διαδρομών

Διαλείψεις πολλαπλών διαδρομών σε διαύλους ευρείας ζώνης

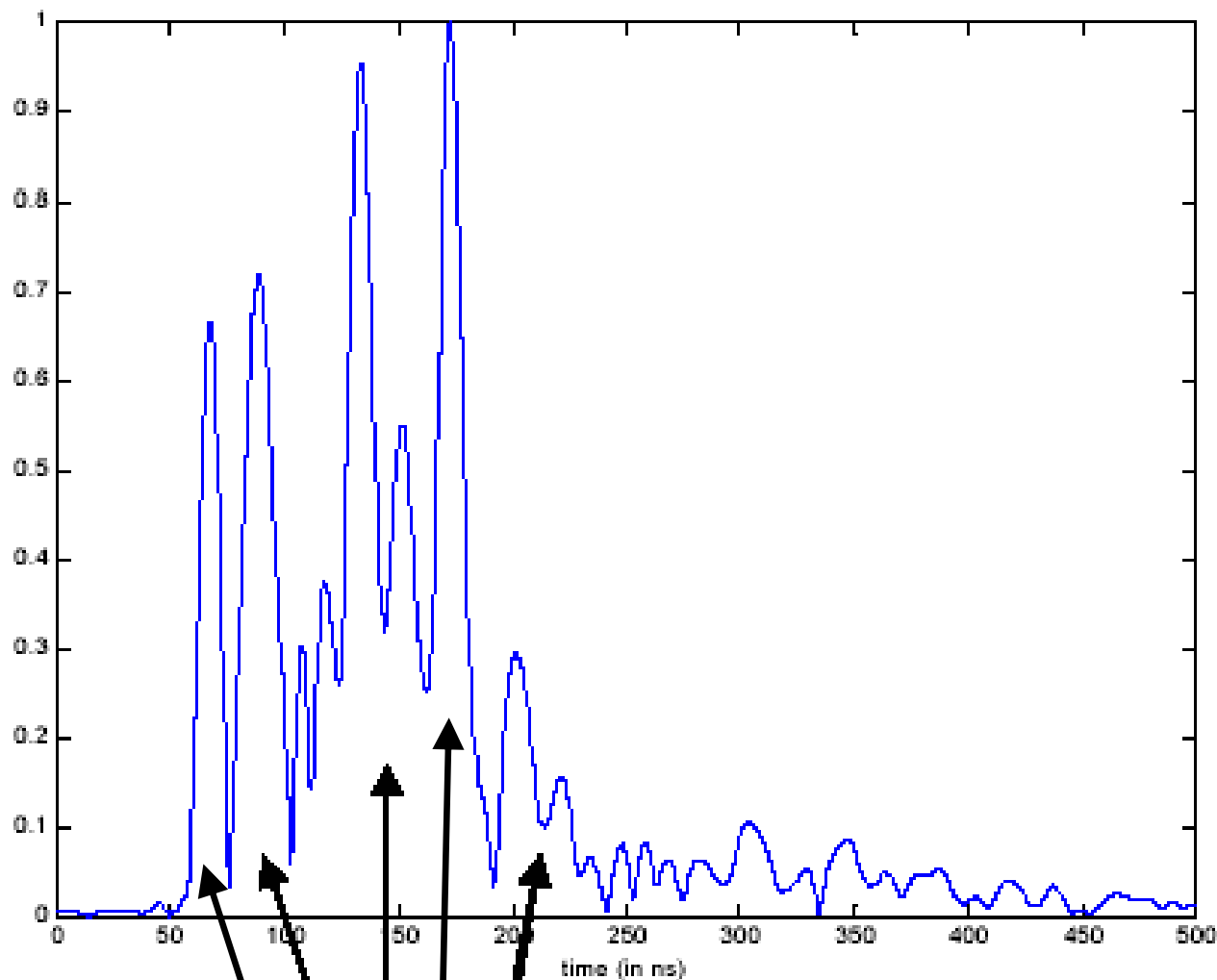


- Καθώς μεγαλώνουν οι διαφορές στις καθυστερήσεις, ακόμη και παραπλήσιες συχνότητες στο μεταδιδόμενο σήμα μπορεί να υφίστανται σημαντικά διαφορετικές μετατοπίσεις φάσης.
- Οι ραδιοδίαυλοι εισάγουν παραμόρφωση πλάτους και φάσης στο σήμα πληροφορίας.
- *Διαλείψεις επιλεκτικές ως προς τη συχνότητα (frequency selective fading).*

Κρουστική απόκριση διαύλου ευρείας ζώνης



Μεταδοθείς στενός παλμός καταφθάνει μέσω πολλαπλών διαδρομών με διαφορετικό εύρος και διαφορετικές καθυστερήσεις

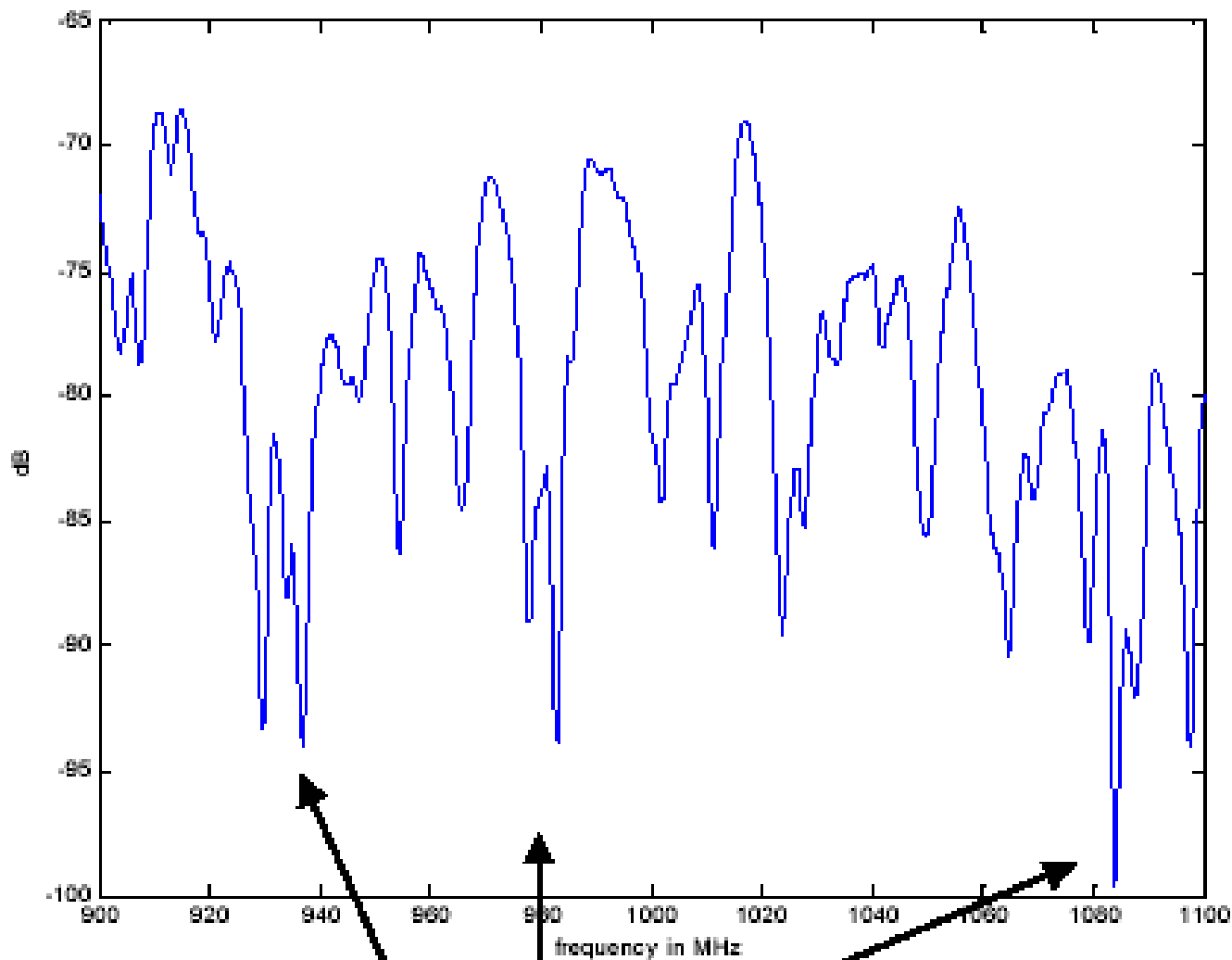


Αφίξεις από πολλαπλές διαδρομές

Απόκριση συχνότητας διαύλου ευρείας ζώνης



Εύρος ζώνης
200 MHz και
φέρον 1 GHz



Διαλείψεις επιλεκτικές ως προς τη συχνότητα

Δίκτυα Κινητών και Προσωπικών Επικοινωνιών

Διαλείψεις πολλαπλών διαδρομών σε διαύλους ευρείας ζώνης



Η έξοδος της κεραίας του δέκτη είναι άθροισμα πολλών εκδοχών του σήματος που καταφθάνουν μέσω διαφορετικών διαδρομών.

Υποθέσεις:

- κάθε διαδρομή είναι γραμμική, χρονικά αμετάβλητη και χωρίς διασπορά
- η απόσταση πομπού-δέκτη είναι αρκετά μεγάλη (επίπεδο κύμα)
- η θέση του πομπού είναι σταθερή

Διαλείψεις πολλαπλών διαδρομών σε διαύλους ευρείας ζώνης



Αν μεταδοθεί κρουστικός παλμός $\delta(t)$, το λαμβανόμενο σήμα στη θέση \vec{R} θα είναι:

$$h(t, \vec{R}) = \sum_{i=1}^{N(\vec{R})} A_i(\vec{R}) \cdot \delta[t - \tau_i(\vec{R})]$$

Αν $x(t)$ το μεταδιδόμενο σήμα:

$$s(t, \vec{R}) = x(t) \otimes h(t, \vec{R}) = \sum_{i=1}^{N(\vec{R})} A_i(\vec{R}) \cdot x[t - \tau_i(\vec{R})]$$

Διαλείψεις πολλαπλών διαδρομών σε διαύλους ευρείας ζώνης



Για ραδιοδιάυλο ζωνοπερατό, περιορισμένου
εύρους ζώνης:

$$\tilde{r}(t, \vec{R}) = \tilde{u}(t) \otimes \tilde{h}(t, \vec{R})$$

$$\tilde{h}(t, \vec{R}) = \sum_{i=1}^{N(\vec{R})} A_i(\vec{R}) \cdot e^{-j2\pi f_c \tau_i(\vec{R})} \delta[t - \tau_i(\vec{R})]$$

Μεταβολές μικρής κλίμακας



Αν η περιοχή \mathcal{D} που μας ενδιαφέρει έχει μικρή έκταση

$$\tilde{h}(t, \vec{R}) = \sum_{i=1}^N A_i \cdot e^{-j2\pi f_c \tau_i(\vec{R})} \delta[t - \tau_i(\vec{R})], \quad \vec{R} \in \mathcal{D}$$

Το λαμβανόμενο σήμα στην περιοχή \mathcal{D}

$$\tilde{r}(t, \vec{R}) = \sum_{i=1}^N A_i \cdot e^{-j2\pi f_c \tau_i(\vec{R})} \tilde{u}(t - \tau_{i,0}), \quad \vec{R} \in \mathcal{D}$$

$\tau_{i,0}$: η καθυστέρηση στην i -στή διαδρομή

Μεταβολές μικρής κλίμακας



Αν η θέση \vec{R} στην περιοχή \mathcal{S} είναι τυχαία, το $\tilde{r}(t, \vec{R})$ θα είναι τυχαία μεταβλητή, ως σταθμισμένο άθροισμα N μιγαδικών ημιτονικών μεταβλητών με τυχαίες φάσεις και βάρη $A_i \cdot \tilde{u}(t - \tau_{i,0})$.

Οι τυχαίες μεταβλητές $2\pi f_c \tau_i(R)$ είναι ανεξάρτητες μεταξύ τους, διότι το μήκος κύματος του φέροντος είναι συνήθως πολύ μικρό

$\tilde{r}(t, \vec{R})$: μιγαδική στοχαστική ανέλιξη Gauss
μηδενικής μέσης τιμής

Μεταβολές μικρής κλίμακας



Η $|\tilde{r}(t, \vec{R})|$, όταν λαμβάνεται στο σύνολο των χρονικών συναρτήσεων στις θέσεις \vec{R} έχει κατανομή **Rayleigh** και η **φάση** της περιβάλλουσας είναι **ομοιόμορφα κατανεμημένη** στο διάστημα $[0, 2\pi)$.

Οι κατανομές της περιβάλλουσας και της φάσης του λαμβανόμενου αποδιαμορφωμένου σήματος είναι ακριβώς όμοιες με εκείνες που παρατηρούνται κατά τη μετάδοση σήματος μιας συχνότητας



$$\tilde{R}(f, \vec{R}) = \int_{-\infty}^{\infty} \tilde{r}(t, \vec{R}) e^{-j2\pi f t} dt = \tilde{H}(f, \vec{R}) \tilde{U}(f)$$

$$\tilde{H}(f, \vec{R}) = \int_{-\infty}^{\infty} \tilde{h}(t, \vec{R}) e^{-j2\pi f t} dt$$

$$\tilde{U}(f) = \int_{-\infty}^{\infty} \tilde{u}(t) e^{-j2\pi f t} dt$$

$$\tilde{R}(f, \vec{R}) = \tilde{U}(f) \sum_{i=1}^N A_i e^{-j2\pi(f+f_c)\tau_i(\vec{R})}$$

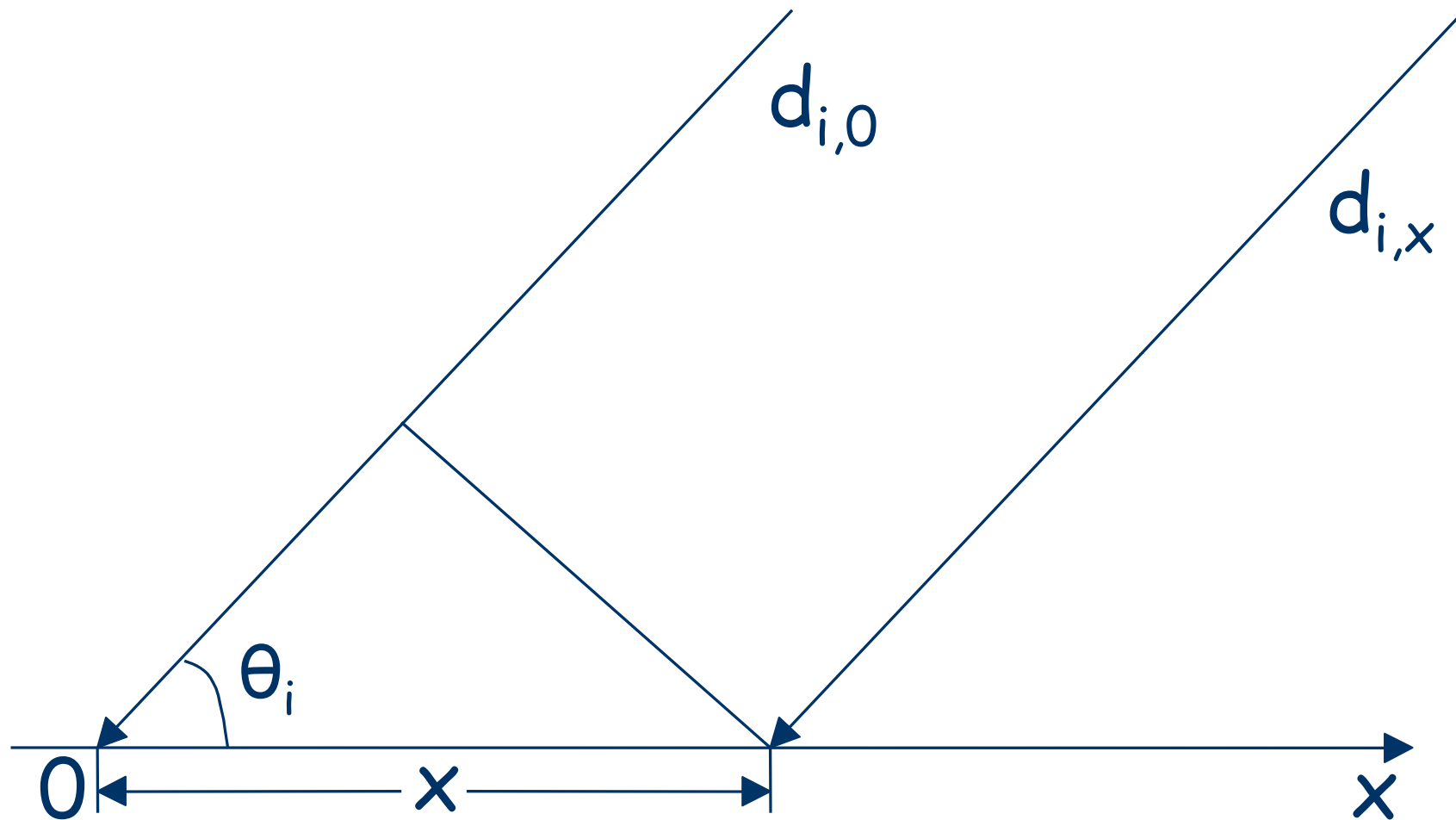
Χρονικό φάσμα



Αν η θέση \vec{R} στην περιοχή \mathcal{S} είναι τυχαία, επιλεγόμενη κατά ομοιόμορφο τρόπο, τότε το $\tilde{R}(f, \vec{R})$ θα είναι μιγαδική στοχαστική ανέλιξη Gauss με μηδενική μέση τιμή, για συχνότητες f μέσα στο εύρος ζώνης του $\mathcal{U}(f)$.

Το πλάτος και η φάση του $\tilde{R}(f, \vec{R})$ έχουν αντίστοιχα κατανομή Rayleigh και ομοιόμορφη κατανομή, όταν λαμβάνονται στο σύνολο των συναρτήσεων συχνότητας στις θέσεις \vec{R} .

Χωρικό φάσμα



$$d_i(\vec{R}) = d_i(x) = d_{i,0} - x \cos \theta_i$$

Χωρικό φάσμα



Η καθυστέρηση στην i -στή διαδρομή

$$\tau_i(\vec{R}) = \tau_i(x) = \tau_{i,0} - \frac{x}{c} \cos \theta_i$$

Η συνεισφορά της i -στής διαδρομής στο λαμβανόμενο σήμα

$$\tilde{r}_i(t, \vec{R}) = \tilde{r}_i(t, x) = A_i \cdot e^{-j2\pi f_c \tau_i(x)} \tilde{u}(t - \tau_{i,0})$$

$$= A_i \cdot e^{-j(2\pi f_c \tau_{i,0} - 2\pi \frac{x}{\lambda} \cos \theta_i)} \tilde{u}(t - \tau_{i,0})$$

Για σταθερό t , μεταβάλλεται ημιτονικά συναρτήσει

του x , με χωρική συχνότητα $\nu_i = \cos \theta_i / \lambda$

(κύκλους ανά μήκος κύματος).

Χωρικό φάσμα



Το χωρικό φάσμα συχνοτήτων ορίζεται ως:

$$\tilde{R}(t, \nu) = \int_{-\infty}^{\infty} \tilde{r}(t, x) e^{-j2\pi\nu x} dx$$

όπου $-1/\lambda \leq \nu \leq 1/\lambda$.

Φάσμα Doppler



Όταν το λαμβανόμενο σήμα μεταβάλλεται με τις θέσεις στον χώρο, η σχετική κίνηση μεταξύ πομπού και δέκτη έχει ως αποτέλεσμα μια φαινομενική αύξηση της συχνότητας του λαμβανόμενου σήματος.

Θεωρούμε ότι ο δέκτης κινείται με σταθερή ταχύτητα v κατά τη διεύθυνση $+x$ και εκφράζουμε το μήκος της i -στής διαδρομής ($x = 0$ για $t = 0$.)

$$d_i(\vec{R}) = d_i(t) = d_{i,0} - vt \cos \theta_i$$

Φάσμα Doppler



Η καθυστέρηση στην i -στή διαδρομή

$$\tau_i(\vec{R}) = \tau_i(t) = \tau_{i,0} - \frac{v}{c} t \cos \theta_i$$

Η συνεισφορά της i -στης διαδρομής στο λαμβανόμενο σήμα

$$\begin{aligned} \tilde{r}_i(t) &= A_i \cdot e^{-j2\pi f_c \tau_i(t)} \tilde{u}(t - \tau_{i,0}) \\ &= A_i \cdot e^{-j2\pi f_c (\tau_{i,0} - \frac{v}{c} \cos \theta_i t)} \tilde{u}(t - \tau_{i,0}) \end{aligned}$$

Φάσμα Doppler



Η φαινομενική μεταβολή της συχνότητας

$$f_{i,d} = f_c \frac{v}{c} \cos \theta_i = \frac{v}{\lambda} \cos \theta_i = v \cdot v_i$$

και αναφέρεται ως **ολίσθηση συχνότητας Doppler**

Παράμετροι διαύλων με πολλαπλές διαδρομές

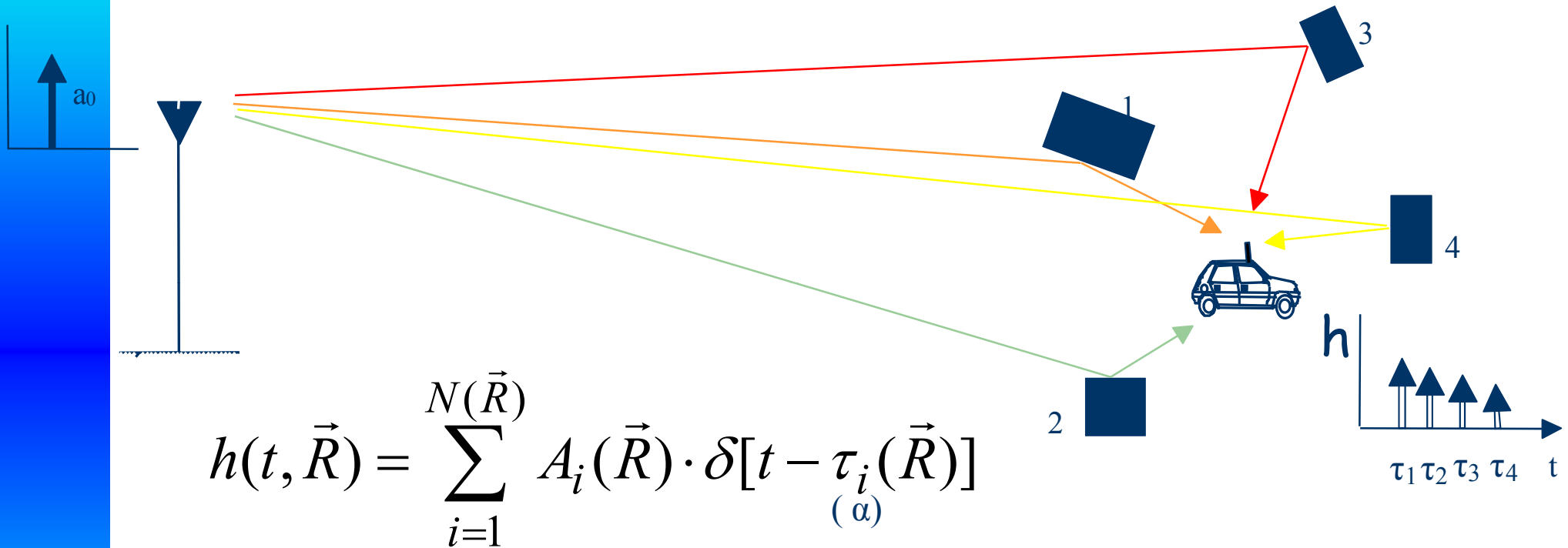


Έχουν αναπτυχθεί πολλές μέθοδοι για την πραγματοποίηση μετρήσεων με σκοπό τη μελέτη της συμπεριφοράς των ραδιοδιαύλων.

Οι μετρήσεις πραγματοποιούνται είτε στο πεδίο του χρόνου με άμεση αποστολή παλμών RF, είτε στο πεδίο συχνότητας με σάρωση κατάλληλης περιοχής συχνοτήτων.

Από τις μετρήσεις υπολογίζονται παράμετροι που χαρακτηρίζουν τη συμπεριφορά των ραδιοδιαύλων, τόσο στο πεδίο του χρόνου όσο και της συχνότητας.

Παράμετροι χρονικής διασποράς



(β)

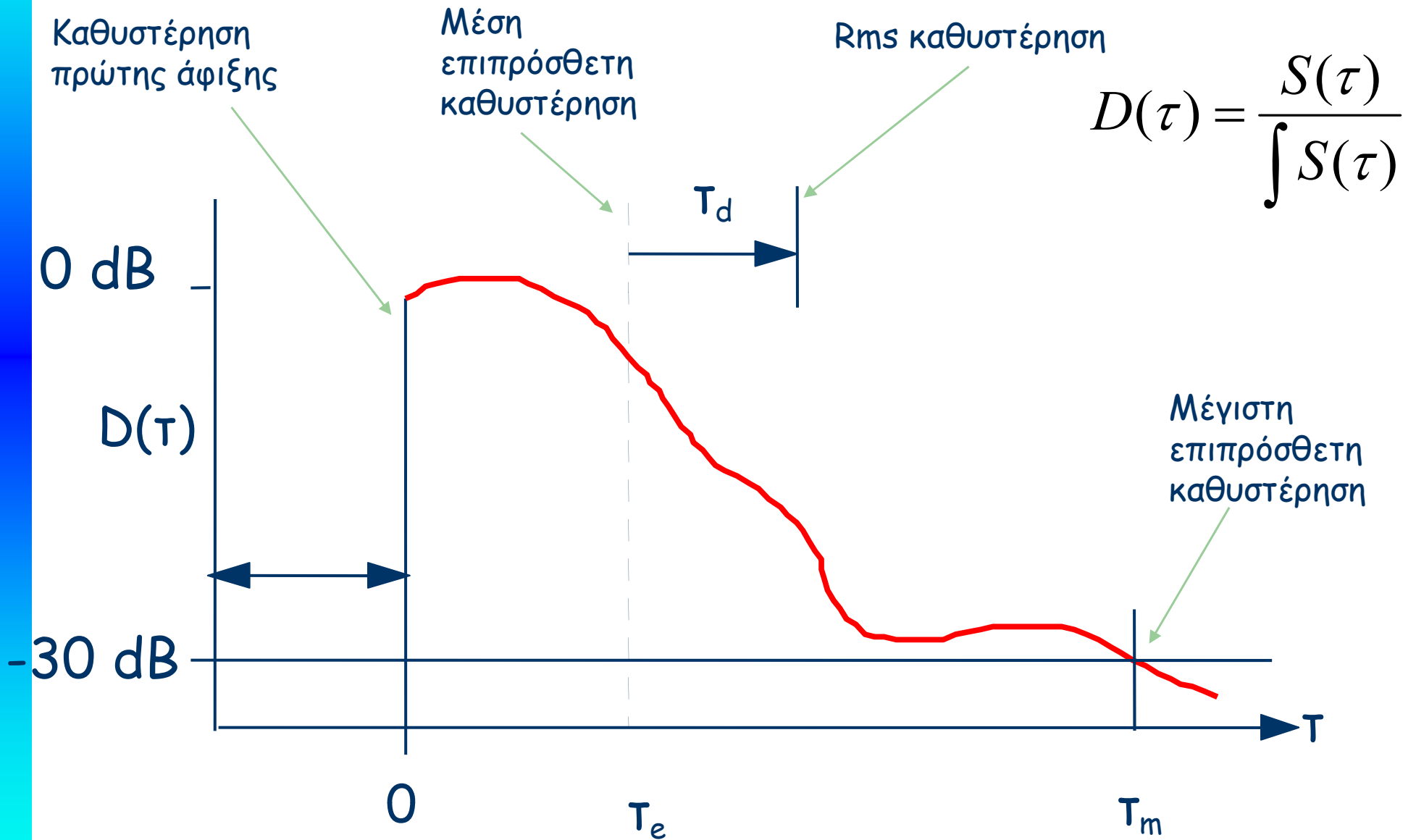
Παράμετροι χρονικής διασποράς



Ο αναμενόμενος βαθμός διασποράς καθυστέρησης καθορίζεται μέσω της μέτρησης του **προφίλ καθυστέρησης ισχύος (power delay profile)** του διαύλου

Τα προφίλ καθυστέρησης ισχύος μετρούνται με διάφορες τεχνικές και παριστάνονται γραφικά ως διαγράμματα της σχετικής λαμβανόμενης ισχύος συναρτήσει της επιπρόσθετης καθυστέρησης ως προς σταθερή χρονική αναφορά.

Προφίλ καθυστέρησης ισχύος



Προφίλ καθυστέρησης ισχύος



Μερικά αντιπροσωπευτικά προφίλ καθυστέρησης που χρησιμοποιούνται:

Εκθετικό προφίλ $D(\tau) = \frac{1}{\tau_d} e^{-\frac{\tau}{\tau_d}}$

Προφίλ Gauss $D(\tau) = \frac{1}{\sqrt{2\pi\tau_d}} e^{-\frac{1}{2}\left(\frac{\tau}{\tau_d}\right)^2}$

Ομοιόμορφο προφίλ $D(\tau) = \begin{cases} \frac{\tau_d}{2}, & 0 \leq \tau \leq \tau_d \\ 0, & \text{αλλου}' \end{cases}$

Εύρος ζώνης συνοχής



Το εύρος ζώνης μέσα στο οποίο οι φασματικές συνιστώσες των σημάτων επηρεάζονται κατά παρόμοιο τρόπο, ονομάζεται *εύρος ζώνης συνοχής* (*coherence bandwidth, B_c*).

Συσχέτιση > 0.9

$$B_c \approx \frac{1}{50\tau_d}$$

Συσχέτιση > 0.5

$$B_c \approx \frac{1}{5\tau_d}$$



Παράδειγμα 2.9

- Το προφίλ πολλαπλών διαδρομών ενός διαύλου αποτελείται από τέσσερις συνιστώσες με στάθμες -20 , -6 , -10 και 0 dB και καθυστερήσεις 0 , 1 , 3 και 5 μ s.
- T_e , T_d , T_M (-10 dB);
- B_c (για συσχέτιση 0.5)
- Ποια συστήματα χωρίς ισοσταθμιστές;

Εξάπλωση Doppler-χρόνος συνοχής



- Η εξάπλωση Doppler και ο χρόνος συνοχής περιγράφουν τη χρονικά μεταβαλλόμενη φύση του διαύλου σε περιοχή μικρής κλίμακας
- Η εξάπλωση Doppler B_D είναι ένα μέτρο της διεύρυνσης του φάσματος που προκαλείται από τον ρυθμό χρονικής μεταβολής του ραδιοδιαύλου.
- Αν το εύρος ζώνης του σήματος είναι πολύ μεγαλύτερο από το B_D οι επιδράσεις της εξάπλωσης Doppler στον δέκτη είναι αμελητέες.

Εξάπλωση Doppler-χρόνος συνοχής



- Ο *χρόνος συνοχής (coherence time)* C_T είναι η αντίστοιχη προς την εξάπλωση Doppler έννοια στο πεδίο του χρόνου.
- Χρησιμοποιείται για να χαρακτηρίζει, στο πεδίο του χρόνου, την ιδιότητα του διαύλου να εμφανίζει διασπορά συχνότητας.

$$C_T = 1 / f_m$$

Εξάπλωση Doppler-χρόνος συνοχής



- Ο χρόνος συνοχής είναι μια στατιστική μέτρηση του χρονικού διαστήματος στο οποίο η απόκριση του διαύλου είναι ουσιαστικά αμετάβλητη.
- Είναι το χρονικό διάστημα στο οποίο δύο λαμβανόμενα σήματα έχουν μεγάλη πιθανότητα να εμφανίζουν συσχέτιση πλάτους.

$$C_T \approx \frac{9}{16 \pi f_m}$$

Συσχέτιση > 0.5

$$C_T = \sqrt{\frac{9}{16 \pi f_m^2}} = \frac{0.423}{f_m}$$

Τύποι βραχύχρονων διαλείψεων

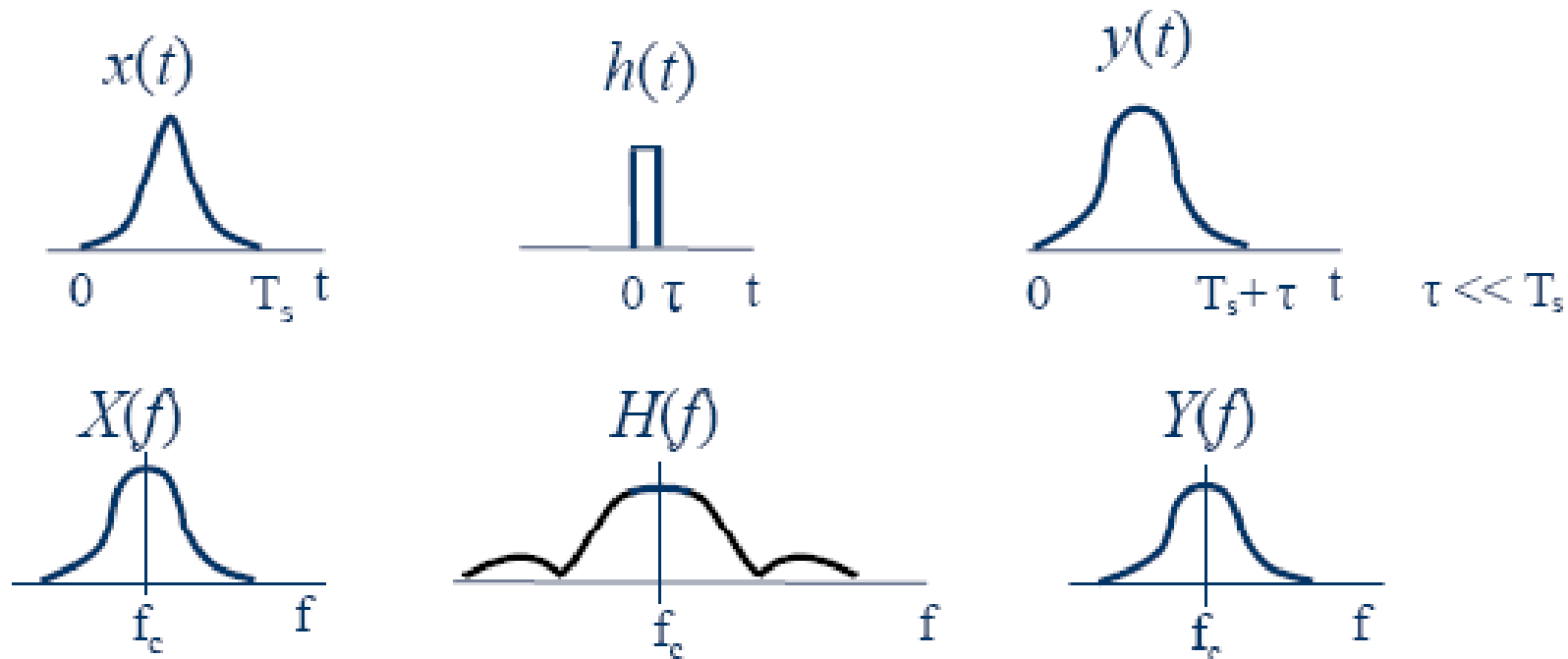
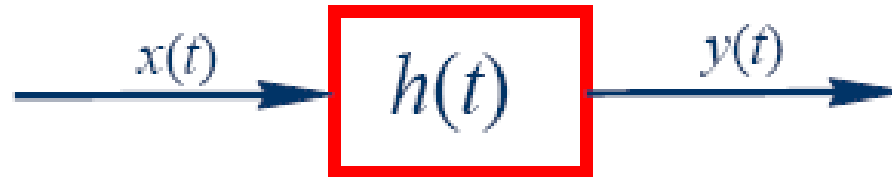


Ανάλογα με τη σχέση των παραμέτρων του σήματος και των παραμέτρων του διαύλου, τα διάφορα μεταδιδόμενα σήματα υφίστανται διαφορετικούς τύπους διαλείψεων.

Η εξάπλωση καθυστέρησης προκαλεί χρονική διασπορά και διαλείψεις επιλεκτικές ως προς συχνότητα.

Η εξάπλωση Doppler προκαλεί διασπορά συχνότητας και διαλείψεις επιλεκτικές ως προς χρόνο.

Χαρακτηριστικά διαύλου με επίπεδες διαλείψεις



Διαλείψεις εξάπλωσης χρονοκαθυστέρησης



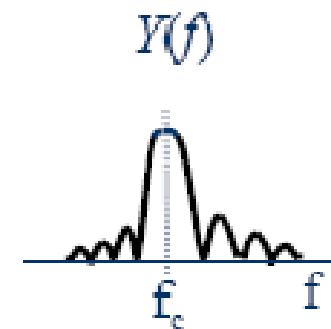
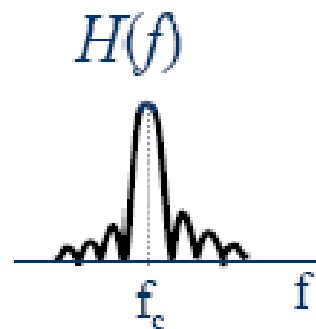
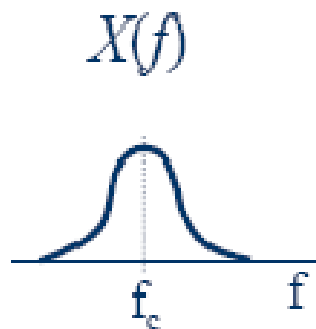
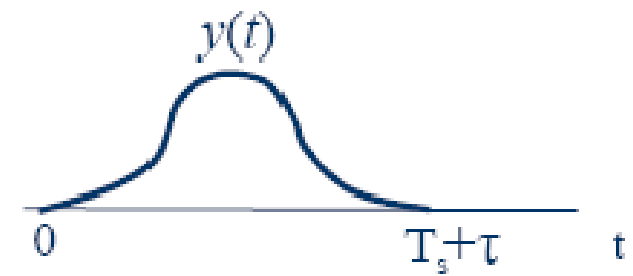
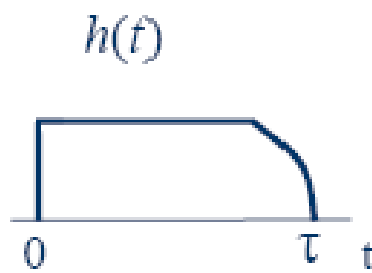
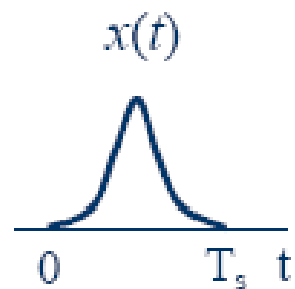
Ένα σήμα υφίσταται επίπεδες διαλείψεις όταν:

$$B_s \ll B_c \quad \text{και} \quad T_s \gg \tau_d$$

Ένα σήμα υφίσταται διαλείψεις επιλεκτικές ως προς συχνότητα, όταν:

$$B_s \gg B_c \quad \text{και} \quad T_s \ll \tau_d$$

Χαρακτηριστικά διαύλου με διαλείψεις επιλεκτικές ως προς συχνότητα



Διαλείψεις εξάπλωσης Doppler



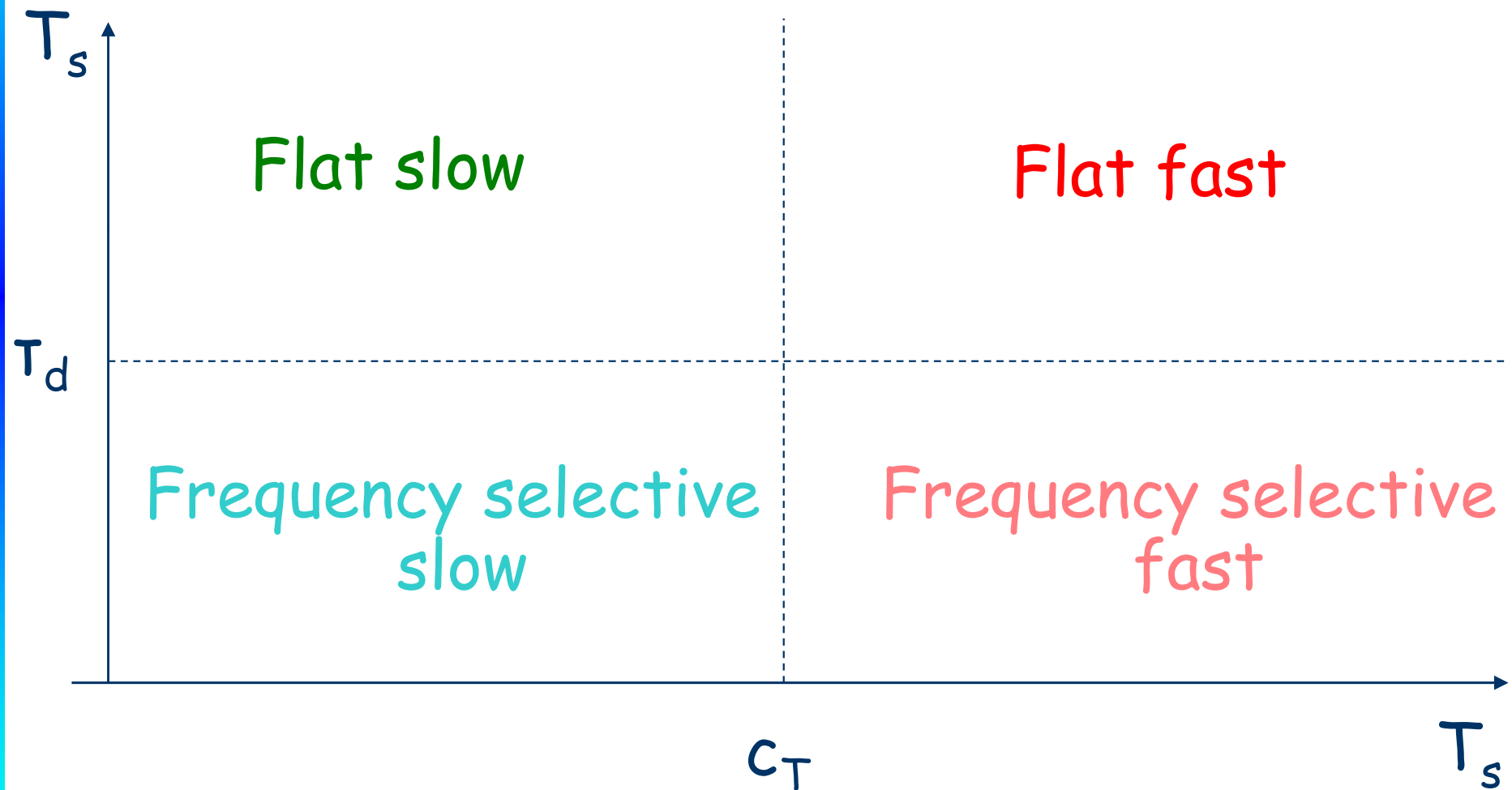
Ένα σήμα υφίσταται ταχείες διαλείψεις όταν:

$$T_s \gg C_T \quad \text{και} \quad B_s \ll B_D$$

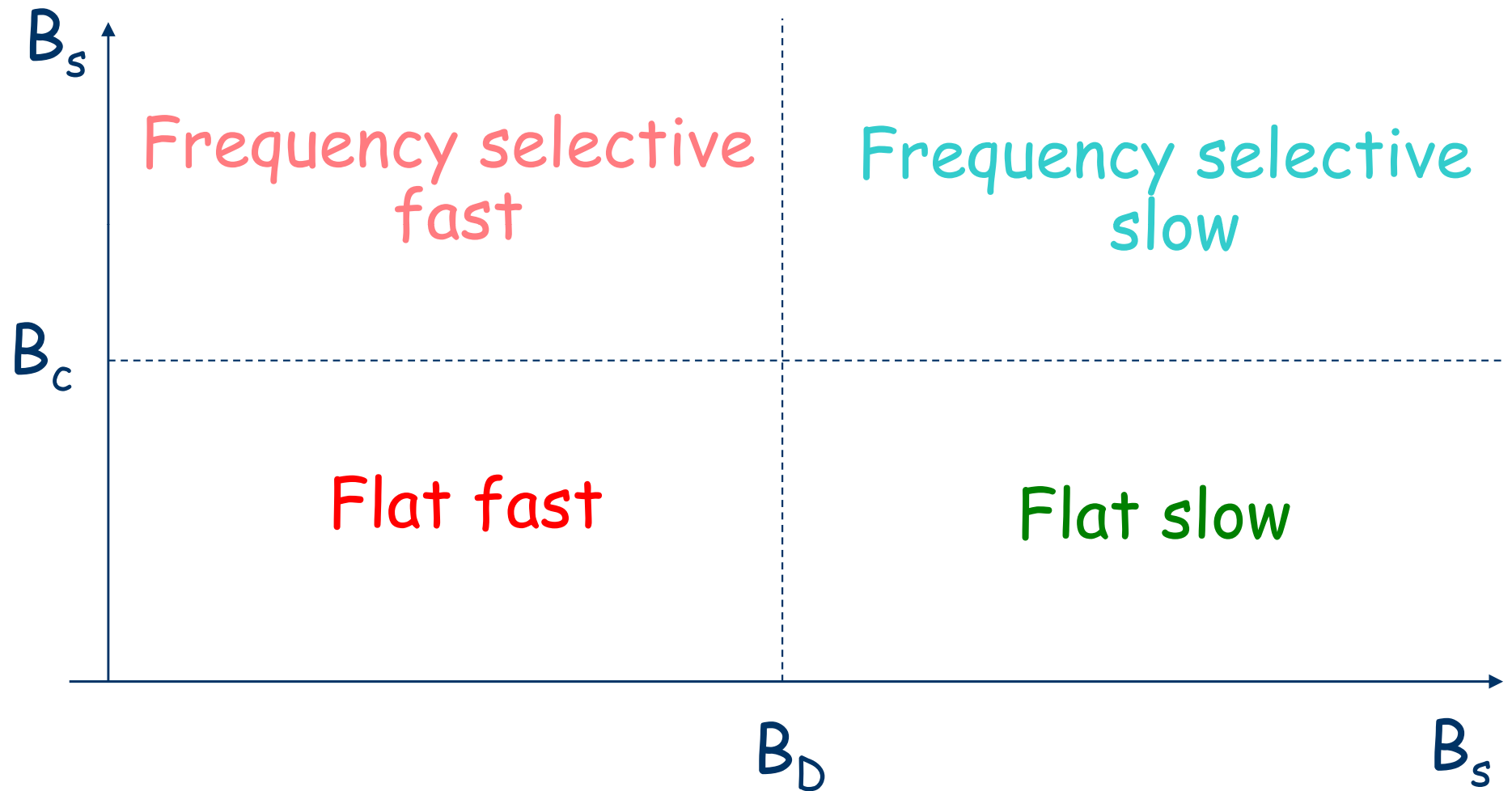
Ένα σήμα υφίσταται αργές διαλείψεις, όταν:

$$T_s \ll C_T \quad \text{και} \quad B_s \gg B_D$$

Τύποι βραχύχρονων διαλείψεων



Τύποι βραχύχρονων διαλείψεων



Αρχή της αντιστροφής



- Η ένταση του σήματος που λαμβάνεται στην κεραία του σταθμού βάσης, και προέρχεται από κάποιον κινητό πομπό, είναι η ίδια με εκείνη που λαμβάνεται στην κεραία του κινητού και προέρχεται από τον σταθμό βάσης.
- Ισχύει σε ασύρματο περιβάλλον κινητών επικοινωνιών για συγκεκριμένες καταστάσεις

Χωρητικότητα τηλεπ. διαύλου



Κανονικοποιημένη χωρητικότητα χωρίς σφάλματα:

$$\frac{C}{B_T} = \log_2 \left[1 + \frac{S}{N_o B_T} \right] = \log_2 \left[1 + \frac{E_b}{N_o} \left(\frac{R}{B_T} \right) \right]$$

Ιδανικός δίαυλος, $R = C$:

$$\frac{C}{B_T} = \log_2 \left[1 + \frac{E_b}{N_o} \left(\frac{C}{B_T} \right) \right] \qquad \frac{E_b}{N_o} = \frac{2^{\frac{C}{B_T}} - 1}{\frac{C}{B_T}}$$

Χωρητικότητα τηλεπ. διαύλου

